

## Notitie / Memo

**HaskoningDHV Nederland B.V.  
Industry & Buildings**

Aan: Prolander  
Van: RB  
Datum: 20 december 2021

Ons kenmerk: BE3102-IB-NT-211217-1706  
Classificatie: Projectgerelateerd  
Goedgekeurd door: -

Onderwerp: **Opdrijfcontrole olieleiding Bargerveen**

---

## 1 Inleiding

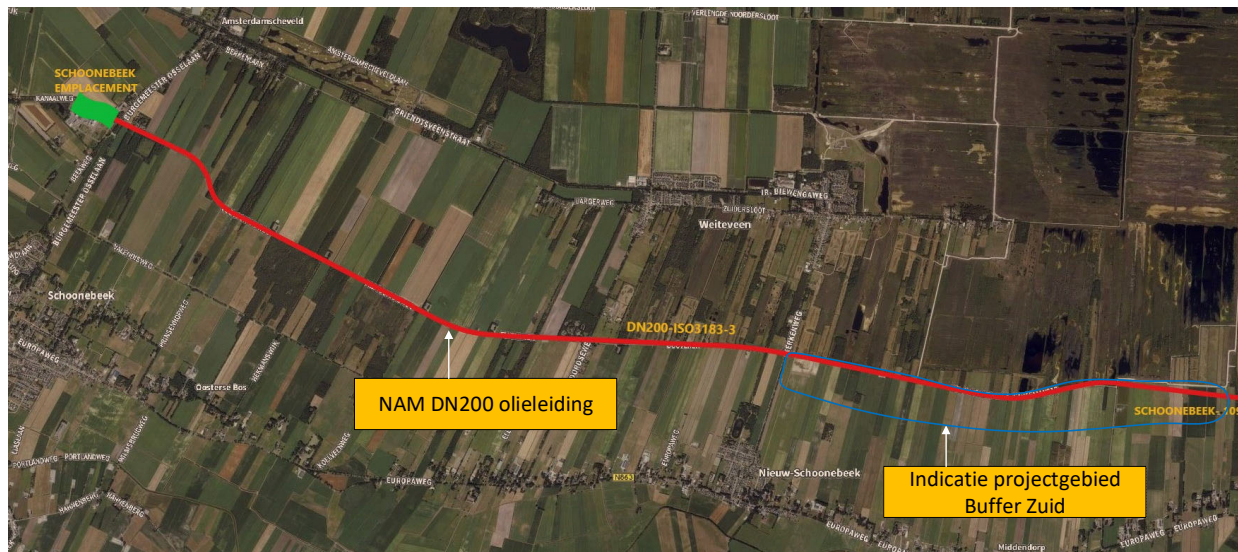
### 1.1 Vraagstelling en opzet

Prolander is voornemens in het gebied ten zuiden van Bargerveen waterbuffers te realiseren, project Buffer Zuid. In dit kader zullen grondafgravingen plaatsvinden, zal de grondwaterstand verhoogd komen te liggen en op enkele plaats het maaiveld worden verhoogd. In het betreffende gebied loopt tevens een olieleiding van de NAM (8" olie exportleiding), zie Figuur 1-1. De afgravingen en de verhoging van de grondwaterstand heeft mogelijk nadelige gevolgen voor de verticale stabiliteit van de leiding; met andere woorden de leiding zou kunnen opdrijven. Tevens kan door maaiveldverhoging de belasting op de leiding toenemen, door extra bovenbelasting of door zettingen.

De NAM heeft Prolander gevraagd om het opdrijfrisico te beoordelen en te beoordelen of de grondophoging tot overschrijding van de toelaatbare materiaalspanningen en leidingvervorming kan leiden. In voorliggend memo is door Royal HaskoningDHV, in opdracht van Prolander, de opdrijfcontrole en de leidingsterkteberekening uitgevoerd.

Voor de beschouwingen zijn eerst maatgevende locaties vastgesteld. Voor de opdrijfcontrole zijn dit locaties waar de leiding ondiep ligt, boven de leiding een grondsoort met een laag volumiek gewicht (zoals veen) ligt, en de grondwaterstand hoog ten opzichte van het maaiveld staat. Voor de leidingsterkteberekening is een locatie waar het maaiveld wordt opgehoogd en de grond onder de leiding zettingsgevoelig is maatgevend. Na het bepalen van de maatgevende locaties, zijn de opdrijfcontroles en leidingsterkteberekening uitgevoerd.

Figuur 1-1 Situatie



## 1.2 Referentiedocumenten

De beschouwing is gebaseerd op het ontwerp van de Buffer Zuid, grondinformatie en documenten die door Nederlandse Aardolie Maatschappij B.V. (NAM) aan Royal HaskoningDHV ter beschikking zijn gesteld. In Tabel 1 zijn de referentiedocumenten ten behoeve van de analyse gegeven. De routekaarten van de NAM zijn in bijlage 1 aan de memo toegevoegd. Voor Basiskaart Buffer Zuid [9] en Bestemmingsplan zoekgebied [10] zie bijlage 2.

Tabel 1. Referentiedocumenten

Ref.	Documentnummer	Documenttitel	Auteur	Datum
1	Doc. No. 0418095020	ROUTEKAART 20 – 8" OLIE EXPORTLEIDING NR. 000696	NAM	18-12-2009
2	Doc. No. 0418095019	ROUTEKAART 19 – 8" OLIE EXPORTLEIDING NR. 000696	NAM	25-02-2011
3	Doc. No. 0418095018	ROUTEKAART 18 – 8" OLIE EXPORTLEIDING NR. 000696	NAM	18-04-2016
4	Doc. No. 0418095017	ROUTEKAART 17 – 8" OLIE EXPORTLEIDING NR. 000696	NAM	25-02-2011
5	Doc. No. 0418095016	ROUTEKAART 16 – 8" OLIE EXPORTLEIDING NR. 000696	NAM	25-02-2011
6	Doc. No. 0418095015	ROUTEKAART 15 – 8" OLIE EXPORTLEIDING NR. 000696	NAM	12-07-2017
7	Doc. No. 0418095014	ROUTEKAART 14 – 8" OLIE EXPORTLEIDING NR. 000696	NAM	12-07-2017
8	Doc. No. 0418095013	ROUTEKAART 13 – 8" OLIE EXPORTLEIDING NR. 000696	NAM	12-07-2017
9	BE3102-TE-SO-0201-00	Basiskaart Buffer Zuid	RHDHV	03-03-2021
10	T&P-BE3102	Bestemmingsplan zoekgebieden Buffer Zuid	RHDHV	20-10-2021 In bewerking
11	BE3102MINT2110121631	Programma van Eisen Buffer Zuid Bargerveen, versie 6	RHDHV	26-10-2021

## 2 Uitgangspunten

### 2.1 Leidinggegevens en ligging van de leiding

De leiding heeft de volgende kenmerken:

- Materiaal: Staal L360NB
- Leidingdiameter: 219,1 mm
- Wanddikte medium buis: 8,68 mm
- Isolatie: Ø 400 mm PUR-PE

Voor de opdrijfcontrole wordt verondersteld dat in de leiding zich geen medium bevindt. Dit is de maatgevende situatie. De leidingsterkeberekening houdt wel rekening met een gevulde leiding.

Het gebied waar Buffer Zuid wordt gerealiseerd, ligt ten zuiden van de Dr. Ing. H.A. Stheemanstraat. In bijlage 2 is de ontwerptekening van Buffer Zuid van maart 2021 [9] in voorliggende memo opgenomen. Op meerdere plaatsen wordt het maaiveld afgegraven en wordt de waterstand verhoogd. De tekening toont de locaties van de afergingen en de nieuwe waterstanden, zoals in maart 2021 bekend.

De routekaarten van de NAM [1] t/m [9] geven de ligging van de leiding binnen het projectgebied. De leiding loopt van oost naar west eerst in de zuidelijke berm van de Dr. Ing. H.A. Stheemanstraat. In het oostelijke deel van het projectgebied, waar de Dr. Ing. H.A. Stheemanstraat in zuidelijke richting afbuigt, ligt de leiding onder landerijen. Op twee locaties is de leiding door middel van een horizontaal gestuurde boring (HDD) aangelegd. Dit is ter plaatse van de kruising met de Kerkenweg en op de plaats waar de Dr. Ing. H.A. Stheemanstraat in zuidelijke richting loopt. De resterende delen van de leiding zijn in open ontgraving aangelegd. Het hoogteniveau van de leiding varieert, maar ligt ten westen van HDD onder de Dr. Ing. H.A. Stheemanstraat in het algemeen met een gronddekking van ca. 1,0 m. Ten oosten van HDD Dr. Ing. H.A. Stheemanstraat is de gronddekking in het algemeen groter, omdat meerdere watergangen gekruist worden.

In oktober 2021 het inrichtingsplan aangepast [10] en is een programma van eisen [11] voor de buffer opgesteld. In het programma van eisen (PVE) is de buffer opgedeeld in 4 vakken, waarvoor eisen zijn opgesteld. Vak 1 is het oostelijke deel van het projectgebied. Volgens het PVE [11] dient het waterpeil in vak 1 tussen +16,8 en +17,5 m NAP te bedragen en de waterdiepte minimaal 0,5 m. Hieruit volgt een laagste bodempeil van +16,3 m NAP. Dit is 0,2 m lager dan het laagste bodempeil volgens de ontwerptekening van maart 2021 [9]. Het PVE [11] of het inrichtingsplan [10] geven niet de locatie waar laagste bodempeil zich zal bevinden. Mogelijk bevindt dit laagste bodempeil zich boven de NAM-leiding zie rode cirkels op Figuur 2-1.

Figuur 2-1 Uitsnede uit het inrichtingsplan [10], vak 1 [11], met verlaagd maaiveld boven leiding (rode cirkels)



In bijlage 3 is nogmaals de ontwerptekening [9] van de buffers opgenomen, met daarop de positie van de leiding, de hoogteligging van de leiding, nieuwe maaiveldhoogten en nieuwe waterstanden aangegeven. Voor het gebied van vak 1 zijn de maaiveldhoogte en waterstanden overgenomen uit het PVE [11].

Ten westen van de kruising met de Dr. Ing. H.A. Stheemanstraat wordt het maaiveld boven de leiding opgehoogd tot 17,5 m NAP. Er wordt uitgegaan van een aanvulling met klei met een droog volumiek gewicht van 14 kN/m<sup>3</sup>.

## 2.2 Grondgegevens

In het gebied waar Buffer Zuid wordt gerealiseerd zijn verscheidende grondboringen uitgevoerd. De gegevens zijn opgevraagd bij de bodemdatabase van TNO, Dinoloket. Ter bepaling van de grondopbouw over het leidingtracé is een selectie gemaakt van grondboringen die nabij de leiding zijn uitgevoerd. De locaties waar de onderzoeken zijn uitgevoerd zijn gegeven in Figuur 5-1, Figuur 5-2 en Figuur 5-3 in bijlage 4. De boorstaten zijn eveneens opgenomen in bijlage 4.

Met behulp van enkele boorstaten zijn enkele grondprofielen gemaakt, zie bijlage 4. Voor de beschouwing van de leiding is grondprofiel G-G' het meest relevant. Dit profiel is genomen over de lengte van de Dr. Ing. H.A. Stheemanstraat, aan de noordzijde van de weg.

Uit de grondgegevens volgt dat op veel plaatsen de toplaag uit ca. 20 cm zand bestaat. Onder deze toplaag bevindt zich of een gemengdegrondlaag of een veenlaag van ca. 1 m dik en daaronder een zandlaag. Op een enkele plaats is de toplaag van zand afwezig. Voor de veldstrekking van de leiding in de berm van de Dr. Ing. H.A. Stheemanstraat wordt ervan uitgegaan dat de toplaag zand wel aanwezig is. Het ligt voor de hand dat bij de aanleg van de leiding naast de weg, de sleuf bovenin is aangevuld met zand.

In het gebied waar het maaiveld boven de leiding wordt opgehoogd, bevindt zich onder de leiding een leemlaag van ca. 1,5 meter dik. Deze grondlaag is niet zettingsgevoelig. De verwachting is dat de zettings die op kunnen optreden door de maaiveldverhoging gering zullen zijn. Voor de zekerheid is bij de leidingsterkterekening met een zettingsverschil van 20 cm rekening gehouden, hetgeen een grote overschatting is.

De kenmerken van genoemde grondsoorten zijn niet bekend. Daarom zijn benodigde grondparameters (droog en verzagd volumieke gewicht) bepaald aan de hand van Tabel B.1 uit de NEN3650-1:2020 (Eisen voor buisleidingsystemen – Deel 1: Algemene eisen), waarbij van conservatieve (lage) waarden is uitgegaan. Er wordt van uitgegaan dat de grond die als “gemengde grond” is getypeerd, dezelfde eigenschappen heeft als veen. Ook dit is een conservatieve aanname. Voor de betreffende grondsoorten zijn de volumieke gewichten weergegeven in Tabel 2.

Tabel 2 Grondparameters

Grondsoort	Volumieke gewicht, droog [kN/m <sup>3</sup> ]	Volumieke gewicht, verzagd [kN/m <sup>3</sup> ]
Veen / gemengde grond	10	10
Klei	14	14
Zand	17	19

## 2.3 Waterstanden

Door de realisatie van de Buffer Zuid zal de waterstand in het algemeen hoger komen te liggen en zal variëren in de tijd. Elk vak van de buffer heeft zijn eigen waterstand. Op de tekening in bijlage 3 zijn de grondwaterstanden weergegeven.

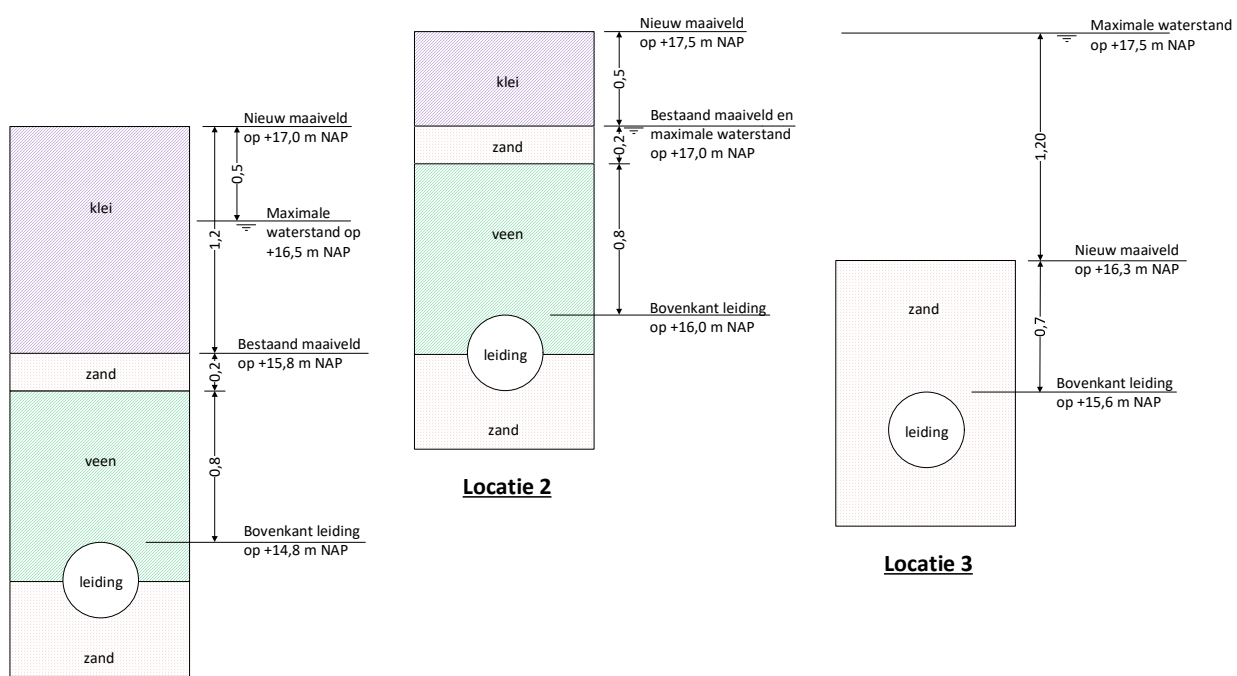
Voor de opdrijfcontrole is de hoogste waterstand maatgevend, omdat de omlaag gerichte kracht van de grond op de leiding dan het kleinste is. In de buffergebieden zal de waterstand hoger staan dan het maaiveld. Voor de opdrijfcontrole is uitgegaan van een waterstand op maaiveldniveau. Voor de situatie waarbij het water boven maaiveld staat, neemt het risico op opdrijven niet verder toe. De resultante van de opwaartse en neerwaartse kracht blijft onveranderd; het gewicht van de grond boven de leiding neemt niet verder af en de opwaartse kracht neemt niet verder toe.

Voor de leidingsterkterekening is met de laagste waterstand gerekend, omdat hierbij de grootste omlaag gerichte kracht van de grond op de leiding maatgevend is.

### 3 Opdrijfcontrole

Op basis van genoemde uitgangspunten is de opdrijfcontrole in bijlage 5 uitgevoerd voor een 3-tal locaties, welke zijn aangegeven op de tekening in bijlage 3. Figuur 3-1 geeft de doorsneden van de grond en leiding per locatie. In de doorsneden is zowel het bestaande maaiveldniveau als het nieuwe maaiveldniveau aangegeven. Ter plaatse van locatie 1 en locatie 2 wordt het maaiveld verhoogd en ter plaatse van locatie 3 wordt grond afgegraven. Voor de opdrijfcontrole is uitgegaan van het nieuwe maaiveld.

Figuur 3-1 Doorsnede per locatie



**Locatie 1**

De opdrijvende kracht wordt veroorzaakt door het verplaatste grondwater. De neerwaartse kracht is de optelsom van het gewicht van de leiding, de effectieve gronddruk van de grond boven de leiding (effectieve gronddruk = neutrale grondspanning – waterspanning). Indien het gewicht van de leiding kleiner is dan de opdrijvende kracht van het grondwater, en de leiding dus omhoog wil bewegen, kan worden gerekend met de passieve grondbelasting in plaats van de neutrale grondbelasting. Deze passieve grondbelasting komt tot stand door de wrijvingskracht tussen de grond boven de leiding en de grond daarnaast en is bepaald op basis van de volgende formule (bijlage C.4.2.4.2 van de NEN3650):

$$q_p = q_n \left( 1 + f_m \frac{H}{D_o} \right)$$

Waarin:

$q_p$  passieve grondbelasting

$q_n$  neutrale grondbelasting

$f_m$  Marstonfactor (0,3 volgens bijlage C.4.2.4.2 van de NEN3650)

$H$  gronddekking

$D_o$  uitwendige leidingdiameter

Uit de opdrijfcontrole in bijlage 5, waarvan de resultaten in Tabel 3 zijn overgenomen, volgt dat het opdrijfrisico voor alle locaties voldoende klein is.

Voor een acceptabel risico op opdrijven dient de verhouding neerwaartse kracht / opwaartse kracht groter te zijn dan 1,1. De laagste waarde voor de verhouding neerwaartse kracht / opwaartse kracht is 2,2 en voldoet daarmee aan het criterium van 1,1.

Tabel 3 Resultaten opdrijfcontrole

Locatie	Unity check neerwaartse / opwaarste kracht	Veiligheids criterium	Toets op veiligheid
1	6,1	>1,1	Voldoet
2	3,9	>1,1	Voldoet
3	2,2	>1,1	Voldoet

## 4 Leidingsterkteberekening

De grootste belastingtoename op de leiding vindt plaats in het gebied waar het maaiveld wordt opgehoogd. Daarom wordt de leidingsterkteberekening uitgevoerd voor locatie 1. Voor deze locatie is in dit hoofdstuk conform de NEN3650-serie door middel van een leidingsterkteberekening de spannings- en vervormingscontrole voor de leiding uitgevoerd. Hierbij zijn de volgende uitgangspunten gehanteerd:

- De leidingsterkteberekening is voor zowel de situatie waarbij de leiding onder druk staat als waarbij de leiding drukloos is, uitgevoerd.
- De ontwerpdruk van de leiding is niet bekend. Daarom is uitgaan van een maximale druk van 100 barg. Dit is een ruime overschatting.
- Er is met de laagste grondwaterstand voor locatie 1 gerekend. Deze bevindt zich op +15,0 m NAP.
- Er is met een verkeersbelasting conform Grafiek II van de NEN3650 gerekend.

De berekeningen zijn uitgevoerd met software Sigma 2020, versie 2.1. De in- en uitvoer van de berekeningen zijn opgenomen in bijlage 6. De berekeningsresultaten zijn overgenomen in Tabel 4-1 en Tabel 4-2. De conclusie is, dat aan de spannings- en vervormingseisen van de NEN3650 wordt voldaan.

Tabel 4-1. Berekeningsresultaten en toets van spanningen

Belasting combinatie	Materiaal spanning axiaal, 1 <sup>e</sup> en 2 <sup>e</sup> jaar [N/mm <sup>2</sup> ]	Materiaal spanning tangentieel, 1 <sup>e</sup> en 2 <sup>e</sup> jaar [N/mm <sup>2</sup> ]	Materiaal spanning axiaal, na 2 <sup>e</sup> jaar [N/mm <sup>2</sup> ]	Materiaal spanning tangentieel, na 2 <sup>e</sup> jaar [N/mm <sup>2</sup> ]	Toelaatbare spanning [N/mm <sup>2</sup> ]	Toets op spanning
Zonder druk	0,00	72,93	93,17	98,54	288,00	Voldoet
Met druk	23,87	60,18	117,05	81,31	288,00	Voldoet

Tabel 4-2. Berekeningsresultaten en toets van deflectie

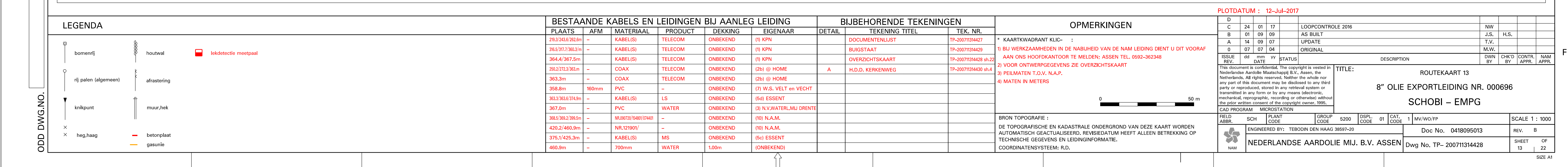
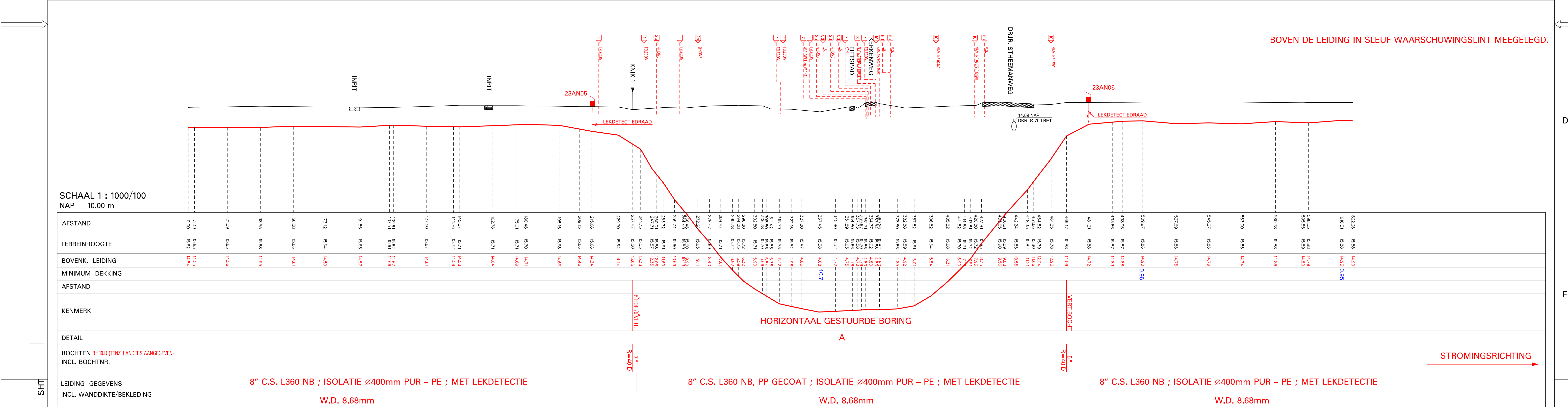
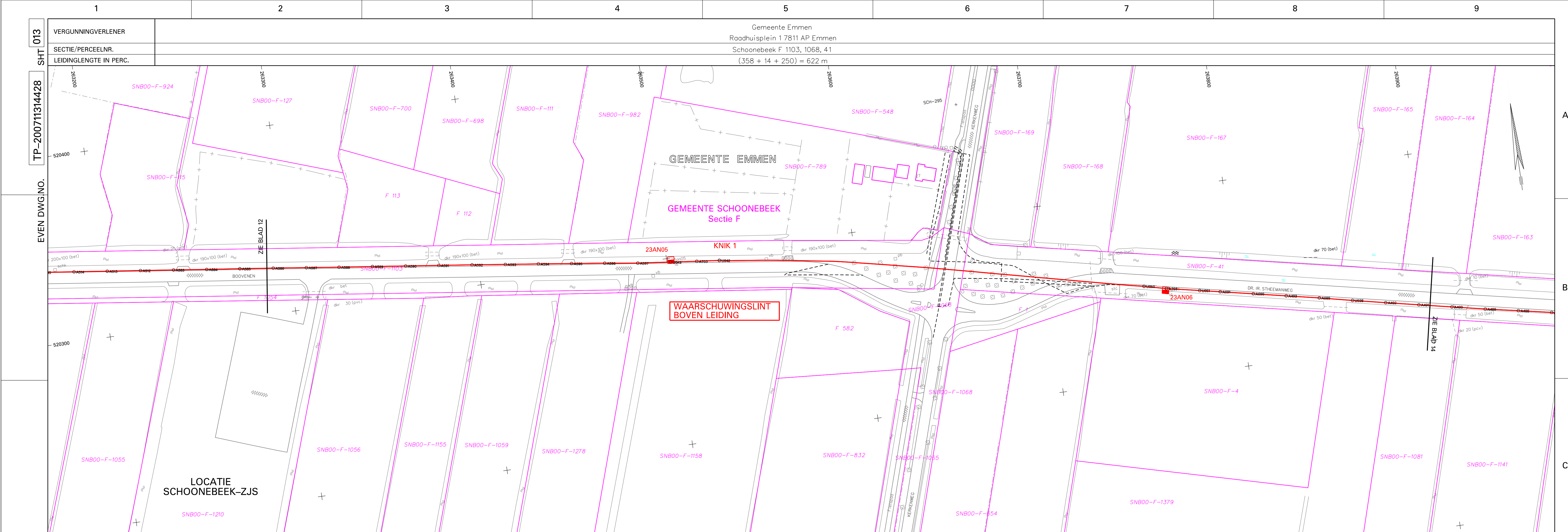
Belast. combinatie	Deflectie [mm]	Toelaatbare deflectie [mm]	Toets op deflectie
Zonder druk	0,42	31,56	Voldoet
Met druk	0,42	31,56	Voldoet

## 5 Conclusies en aanbevelingen

Op basis van de uitgevoerde beschouwingen kan worden geconcludeerd dat het opdrijfrisico in het gehele projectgebied voldoende klein is. Maatregelen om opdrijven van de leiding te voorkomen zijn niet noodzakelijk. De kleinste marge op het opdrijfrisico geldt voor het leidingdeel aan de oostzijde van de kruising met de Dr. Ing. H.A. Stheemanstraat, omdat op deze locatie het maaiveld wordt verlaagd. Toch is door de diepere ligging van de leiding en de aanwezigheid van een zandlaag boven de leiding, de omlaag gerichte kracht op de leiding voldoende groot voor deze locatie.

De leidingsterkterekening toont aan de extra belasting op de leiding niet tot een overschrijding van de toelaatbare spanningen en vervormingen leidt. Ook zettingen zijn geen aanleiding om maatregelen te treffen.

## Bijlage 1 – Beheerkaarten NAM



NINGVERLENER  
/PERCEELNR.  
GLENGETE IN PERC.

TP-200711314428

A horizontal right-pointing arrow indicating continuation.

SHT

DD DWG.NO.

Gemeente Emmen  
Raadhuisplein 1 7811 AP Emmen

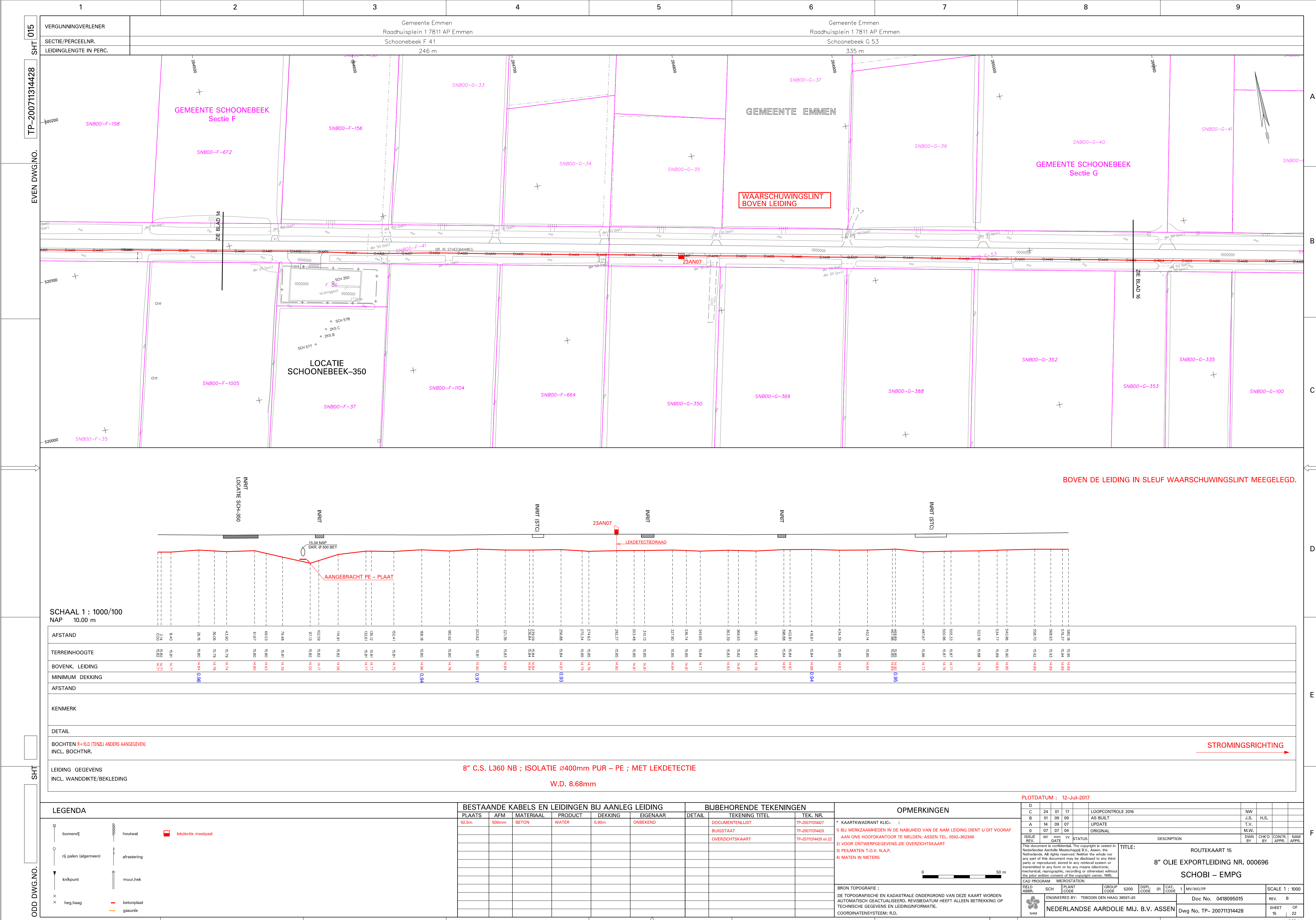
Sectie/Perceelnr.  
Leidinglengte in perc.

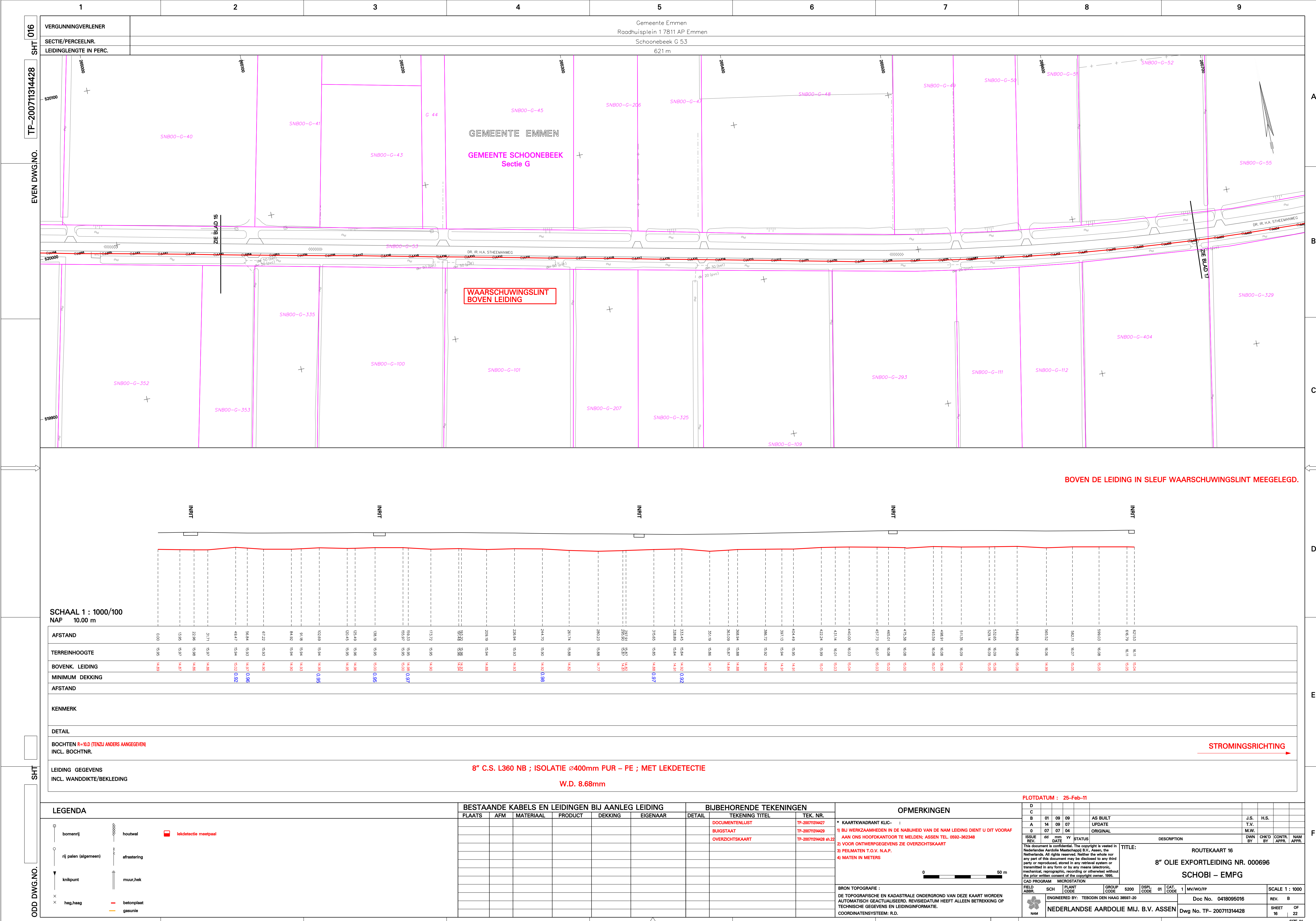
Schoonebeek F 41  
607 m

#### **BOVEN DE LEIDING IN SLEUF WAARSCHUWINGSINT MEEGELEEGD**

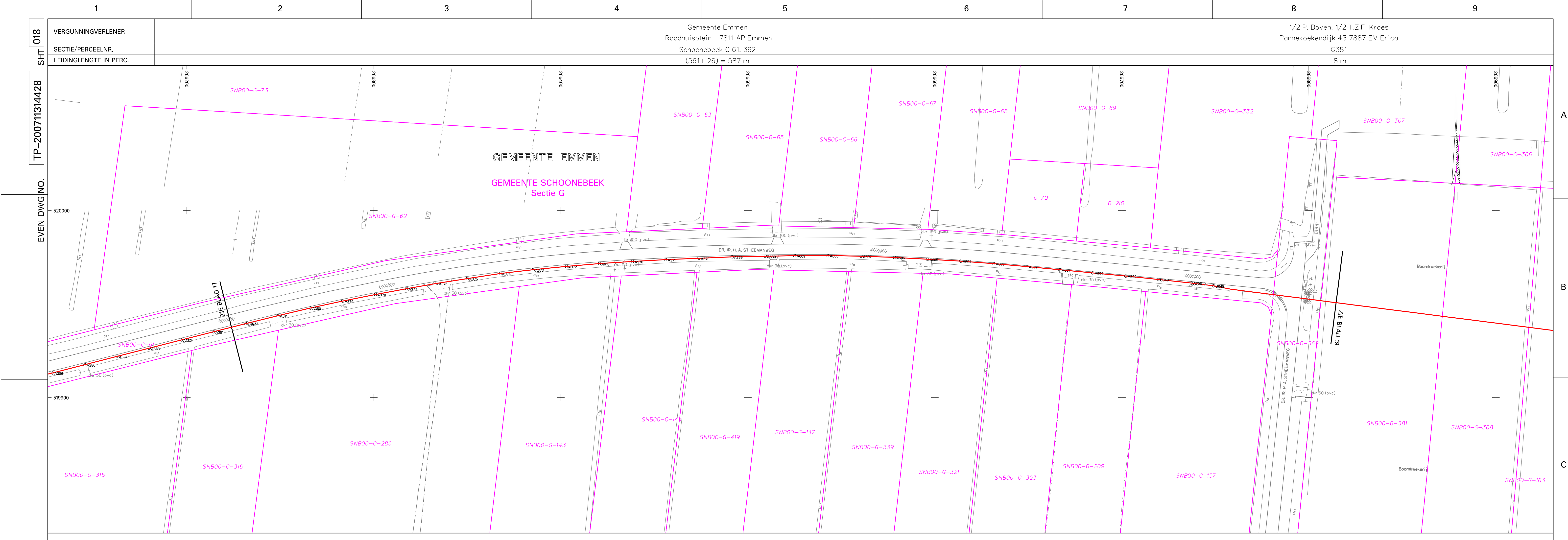
SCHAAL 1 : 1000/100  
NAP - 10.00

NAP 10.00 m			
AFSTAND	TERREINHOOGTE	BOVENK. LEIDING	MINIMUM DEKKING
AFSTAND	KENMERK	DETAIL	BOCHTEN R=10.D (TENZIJ ANDERS AANGEGEVEN) INCL. BOCHTNR.
			8" C.S. L360 NB ; ISOLATIE Ø400mm PUR – PE ; MET LEKDETECTIE W.D. 8.68mm
LEIDING GEGEVENS			
INCL. WANDDIKTE/BEKLEDING			STROMINGSRICHTING →









SCHAAL 1 : 1000/100
NAP 10.00 m
AFSTAND
TERREINHOOGTE
BOVENK. LEIDING
MINIMUM DEKKING
AFSTAND
KENMERK
DETAIL
BOCHTEN INCL. BOCHTNR.
LEIDING GEGEVENS INCL. WANDDIKTE/BEKLEDING

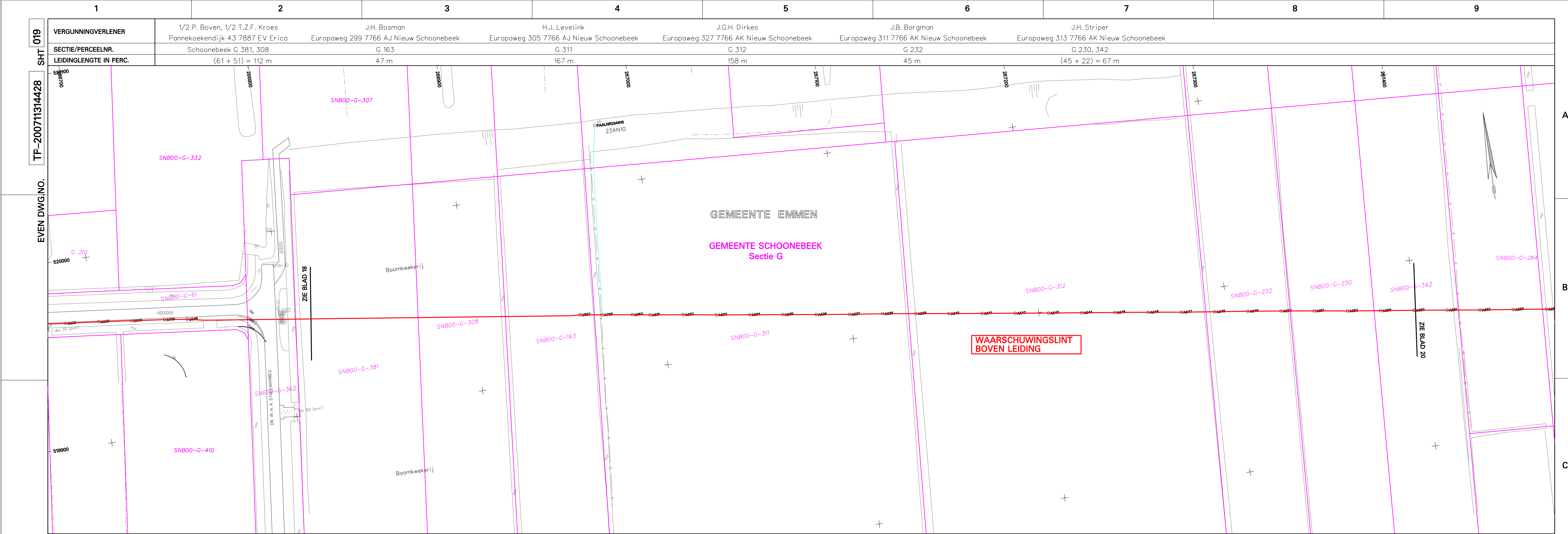
LEGENDA
bomenrij
rij palen (algemeen)
knikpunt
heg,hag
houtwal
afrastering
muur,hek
betonplaat
gasunie

BESTAANDE KABELS EN LEIDINGEN BIJ AANLEG LEIDING							BIJBEHORENDE TEKENINGEN			OPMERKINGEN		
PLAATS	AFM	MATERIAAL	PRODUCT	DEKKING	EIGENAAR	DETAIL	TEKENING TITEL	TEK. NR.	D	C	B	
579,6m	-	KABEL(S)	MS	ONBEKEND	(Bc) ESSENT				* KAARTKWADRANT KLIC- :			

PLOTDATUM : 18-Apr-16
LOOPCONTROLE 2015
AS BUILT
UPDATE
A 14 09 07
O 07 07 04
ORIGINAL
ISSUE dd mm yy STATUS
REV. dd DATE
DESCRIPTION
TITLE: ROUTEKAART 18
8" OLIE EXPORTLEIDING NR. 000696
SCHOB - EMPG

BRON TOPOGRAFIE :  
DE TOPOGRAFISCHE EN KADASTRALE ONDERGROND VAN DEZE KAART WORDEN  
AUTOMAATISCH GEACTUALISEERD. REVISEDATUM HEEFT ALLEEN BETrekking OP  
TECHNISCHE GEGEVENS EN LEIDINGINFORMATIE.  
COORDINATENSysteem: R.D.

FIELD ABBR.	SCH PLANT CODE	GROUP CODE	5200	DSPL. CODE	01	CAT. CODE	1	MV/WO/FP	SCALE 1 : 1000
NAM	TEBEDIN DEN HAAG 38597-20								
	Doc No. 0418095018	REV. B							
	Dwg No. TP-2007134428								



BOVEN DE LEIDING IN SLEUF WAARSCHUWINGSLINT MEEGELEGD.

SCHAAL 1 : 1000/100  
N.A.P. : 10.00 m

AFSTAND

TERREINHOOGTE

BOVENK. LEIDING

MINIMUM DEKKING

AFSTAND

KENMERK

DETAIL

BOCHTEN R=10,D (TENZIJ ANDERS AANGEGEVEN)

INCL. BOCHTNR.

LEIDING GEGEVENEN  
INCL. WANDDIKTE/BEKLEDING

8" C.S. L360 NB, PP GECOAT ; ISOLATIE Ø400mm PUR – PE ; MET LEKDETECTIE

W.D. 8.68mm

8" C.S. L360 NB ; ISOLATIE Ø400mm PUR – PE ; MET LEKDETECTIE

W.D. 8.68mm

VERT.BOCHT

R=40,D

HORIZONTAAL GESTUURDE BORING

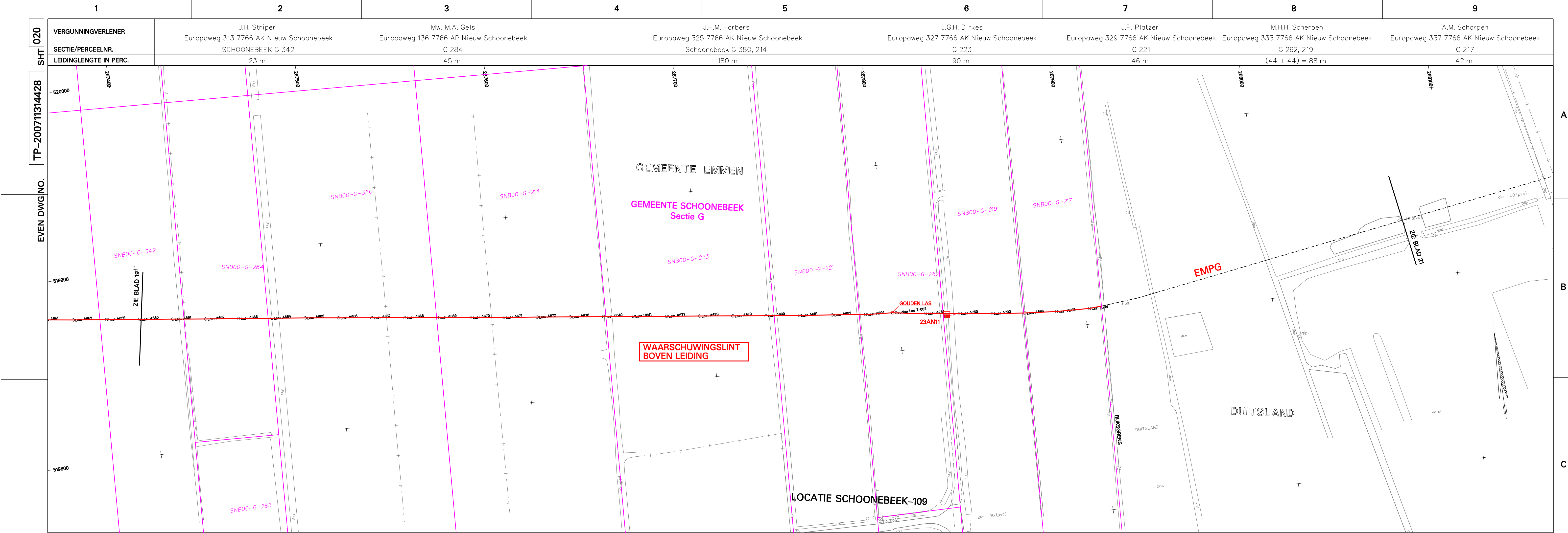
A

STROMINGSRICHTING

ODD DWG.N.O. SHT

TP-200711314428 SHT 019

LEIDING



TP-200711314428 SHT 020

EVEN DWG.NO.

D

E

F

ODD DWG.NO.

SCHAAL 1 : 1000/100  
N.A.P. : 12.00 m

AFSTAND
TERREINHOOGTE
BOVENL. LEIDING
MINIMUM DEKKING
AFSTAND

KENMERK

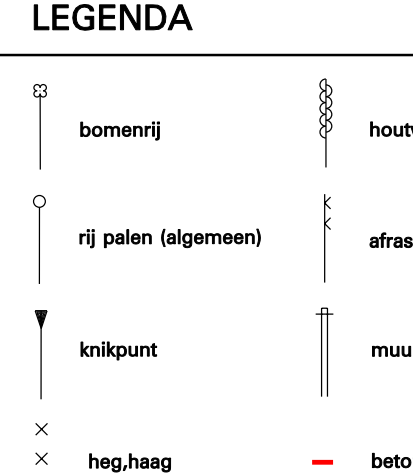
DETAIL

BOCHTEN R=10.D (TENZIJ ANDERS AANGEGEVEN)

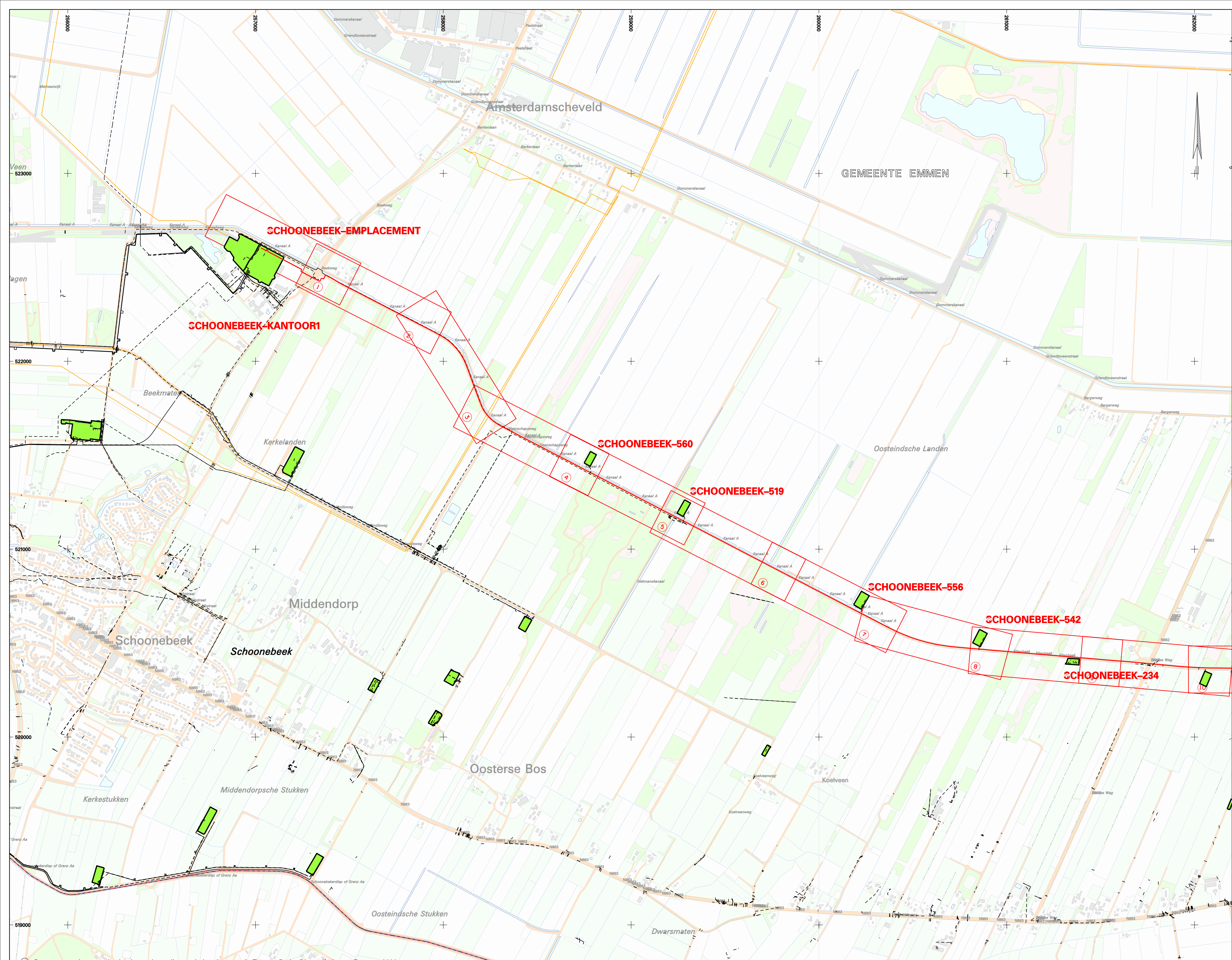
INCL. BOCHTNR.

LEIDING GEGEVENEN  
INCL. WANDDIKTE/BEKLEDING

LEGENDA



BESTAANDE PIJPLEIDINGEN EN KABELS BIJ AANLEG LEIDING										BIJBEHORENDE TEKENINGEN			OPMERKINGEN		
PLAATS	AFM	MATERIAAL	PRODUCT	DEKKING	EIGENAAR	DETAIL	TEKENING TITEL	TEK. NR.	DOCUMENTENLIJST	TP-200711314427	BUGSTAAT	TP-200711314429	OVERZICHTSKAART	TP-200711314428 st.22	
										* KAARTKWADRANT KLIC- :					
										1) BI WERKZAAMHEDEN IN DE NABIJHEID VAN DE NAM LEIDING DIENT U DIT VOORAF					
										2) VOOR ONTWERPGEGEVENEN ZIE OVERZICHTSKAART					
										3) PEILMATEN T.O.V. N.A.P.					
										4) MAREN IN METERS					
										This document is confidential. The copyright is vested in the Nederlandse Aardolie Maatschappij B.V., Assen, the Netherlands. All rights reserved. Neither the whole nor any part may be reproduced in any manner without the written consent of the copyright owner, 1995.					
										TITLE: ROUTEKAART 20					
										8" OLIE EXPORTLEIDING NR. 000696					
										SCHOB - EMPG					
										PLOTDATUM : 16/12/2009					
										FIELD ABBR. SCH. PLANT CODE GROUP CODE 5200 DSPL. CODE 01 CAT. CODE 1 MV/WO/FP SCALE 1 : 1000					
										ENGINEERED BY: TEBOON DEN HAAG 38697-20					
										Doc. No. 0418095020 REV. B					
										Dwg No. TP- 200711314428 SHEET OF 20 / 22					



### ROUTEKAARTEN

KAART NR.	TEKENING NR.	LENGTE (M.)	KETTINGMATE VAN (M.)	DEELLIJNEN TOT (M.)
1	TP-200711314428 sh.1	435.04	0.00	435.04
2	TP-200711314428 sh.2	556.40	435.04	991.44
3	TP-200711314428 sh.3	579.34	991.44	1570.78
4	TP-200711314428 sh.4	594.00	1570.78	2164.78
5	TP-200711314428 sh.5	599.34	2164.78	2764.12
6	TP-200711314428 sh.6	599.82	2764.12	3363.94
7	TP-200711314428 sh.7	620.32	3363.94	3984.26
8	TP-200711314428 sh.8	571.15	3984.26	4555.41
9	TP-200711314428 sh.9	631.87	4555.41	5187.28
10	TP-200711314428 sh.10	569.81	5187.28	5757.09

### DETAILTEKENINGEN

DET.	BENAMING	BEH. BIJ R.K. NR.	DETAILTEKENING	LOK. IN ROUTEKAART VAN (M.) TOT (M.)
1	KRUISING BURGEMEESTER OSSLAAN	1	TP-200711314430 sh.1	284.23 374.65
2	KRUISING VEENSCHEPSEWEG	1	TP-200711314430 sh.2	398.70 418.00
3	H.D.D. DORDSEWEG	10	TP-200711314430 sh.3	117.70 343.56

### OPMERKINGEN

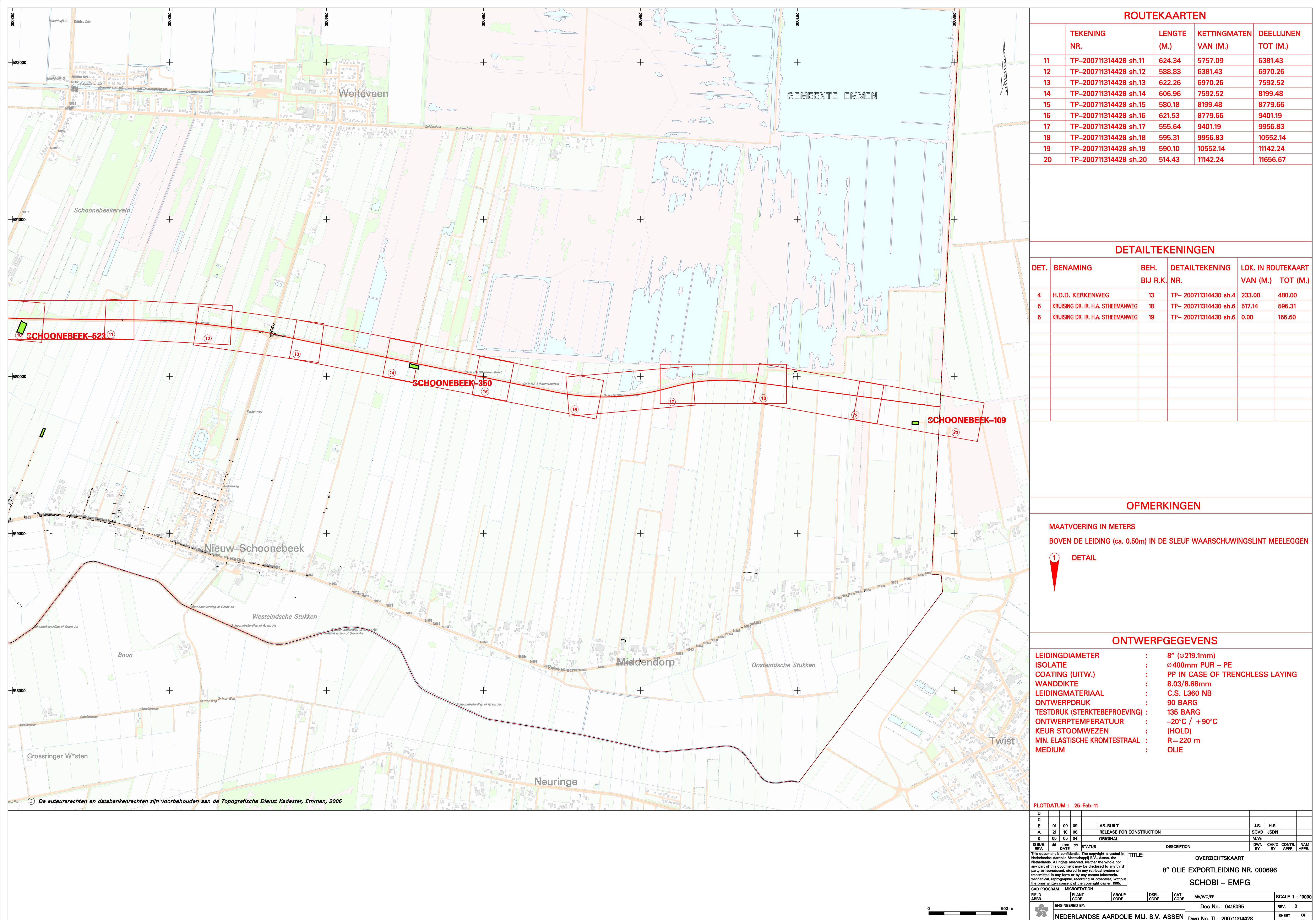
MAATVOERING IN METERS  
BOVEN DE LEIDING (ca. 0.50m) IN DE SLEUF WAARSCHUWINGSLINT MEELEGGEN  
**1** DETAIL

### ONTWERPGEGEVEN

LEIDINGDIAMETER	: 8" ( $\varnothing 219.1\text{mm}$ )
ISOLATIE	: $\varnothing 400\text{mm}$ PUR - PE
COATING (UITW.)	: PP IN CASE OF TRENCHLESS LAYING
WADDIKTE	: 8.03/8.68mm
LEIDINGMATERIAAL	: C.S. L360 NB
ONTWERPDruk	: 90 BARG
TESTDruk (STERKEBEPROEVING)	: 135 BARG
ONTWERPTEMPERATUUR	: $-20^\circ\text{C} / +90^\circ\text{C}$
KUR STOOMWEZEN	: (HOLD)
MIN. ELASTISCHE KROMTESTRAAL	: $R=220\text{ m}$
MEDIUM	: OLIE

PLOTDATUM : 25-Feb-11

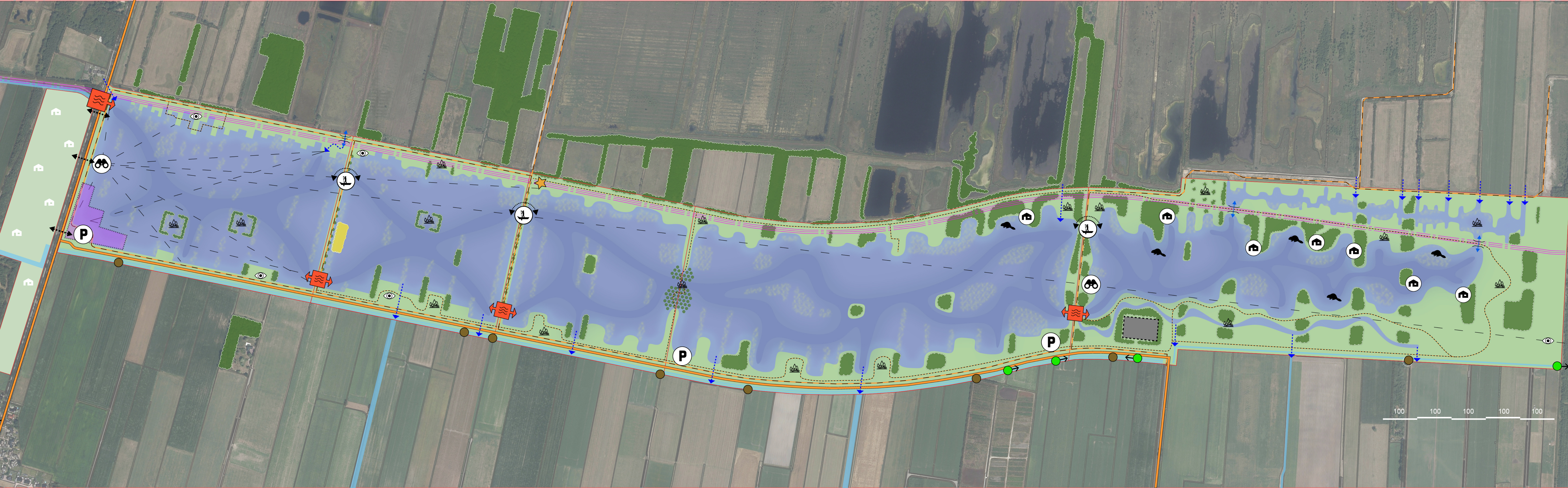
D	C					
B 01 09 09	A 21 10 08	AS-BUILT	J.S.	H.S.		
0 05 05 04	05 05 04	RELEASE FOR CONSTRUCTION	SGVB	JSDDN		
ISSUE dd mm yy	STATUS	DESCRIPTION	DWN BY	CHK'D BY	CONTR. APPR.	NAM APPR.
REV.						
This document is confidential. The copyright is vested in Nederlandse Aardolie Maatschappij B.V., Assen, the Netherlands. All rights reserved. Neither the whole nor any part of this document may be disclosed to any third party without the express written consent of the author or transmitted in any form or by any means (electronic, mechanical, reprographic, recording or otherwise) without the express written consent of the copyright owner. 1995.						
CAD PROGRAM : MICROSTATION						
FIELD ABBR.	PLANT CODE	GROUP CODE	DSPL CODE	CAT CODE	MV/WO/FP	SCALE 1 : 10000
ENGINEERED BY:			DOC No. 0418095			REV. B
NEDERLANDSE AARDOLIE MIJ. B.V. ASSEN			Dwg No. TP - 200711314428			SHEET Z1 OF 22



## Bijlage 2 – Ontwerptekeningen Buffer Zuid



2.0  
 1.0 Event: abgave  
 verlie: omschrijving  
 opdrachtnemer:  
 Prolander  
 project:  
 Buffer - Zuid  
 omschrijving:  
 Basiskaart Buffer Zuid  
 documentstatus:  
 CONCEPT  
 formaat:  
 A0  
 schaal:  
 1:4000  
 fase:  
 01  
 bladnr.:  
 01  
 van  
 01  
 documentnummer / tekeningnummer:  
 BE3102-TE-SO-0201-00  
 in bewerking 3-3-2021  
 Royal HaskoningDHV  
 Enhancing Society Together  
 HaskoningDHV Nederland B.V.  
 Transport & Planning



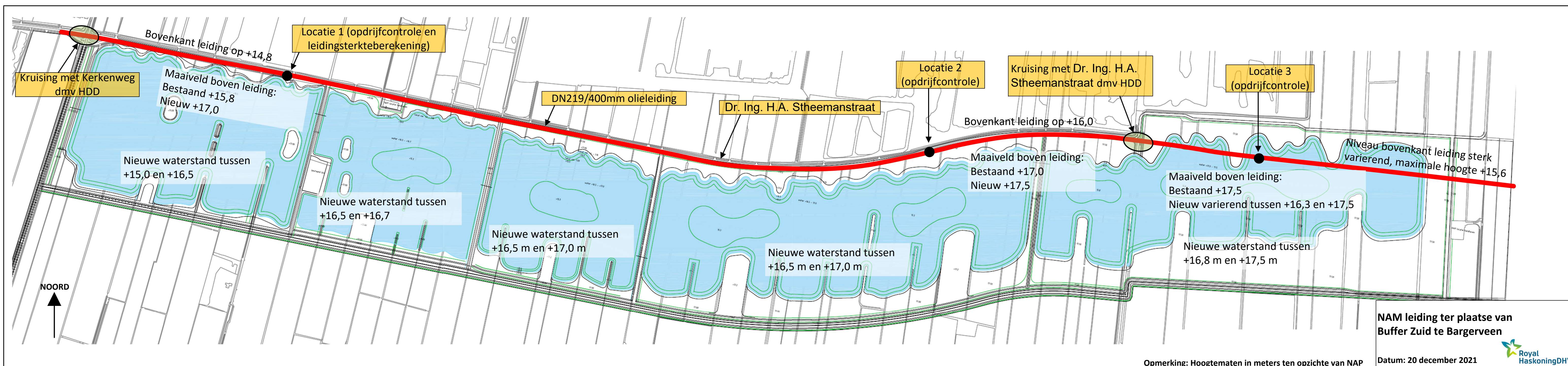
- gecombineerd kunstwerk  
in/ uitlaat  
vaste dam  
dam met inlaat  
brug  
kanosteiger \*  
water  
diepwatergeul  
riet  
riet  
opgaand groen  
bomenlaan  
bosje Rikkejan
- 1.5 ha. ontwikkelloctie horeca/ receptie. Min 25% wateroppervlak. Nader uit te werken.  
veenkunstwerk  
verlaadplek SBB  
eco-lodge \*  
bever territoria \*
- parkeervoorziening \*  
uitkijkpunt  
bezienswaardigheid \*  
landschappelijke kamers \*  
oversteek  
alle aanduidingen met \* zijn indicatielocaties
- rijweg  
fietspad  
wandelpad  
NAM-leiding

in bewerking 20-10-2021

2.0	Bestaande*	niet verwerkt	Bestaande*	Bestaande*
verdieping*	geleidend	geleidend	geleidend	geleidend
soort*	beschrijving	beschrijving	beschrijving	beschrijving
Project Prolander				
Project Buffer Zuid				
Draagvlak Bestemmingsplan Zeeland				
Formaat	A0	schaal	1:XXXX	laag
Document	versie	versie	versie	versie
T&P-BE3102				

Royal HaskoningDHV  
Enhancing Society Together  
HaskoningDHV Nederland B.V.  
T&P Zwolle

## Bijlage 3 – Overzichtstekening Buffer Zuid en leiding



## Bijlage 4 – Grondonderzoekgegevens

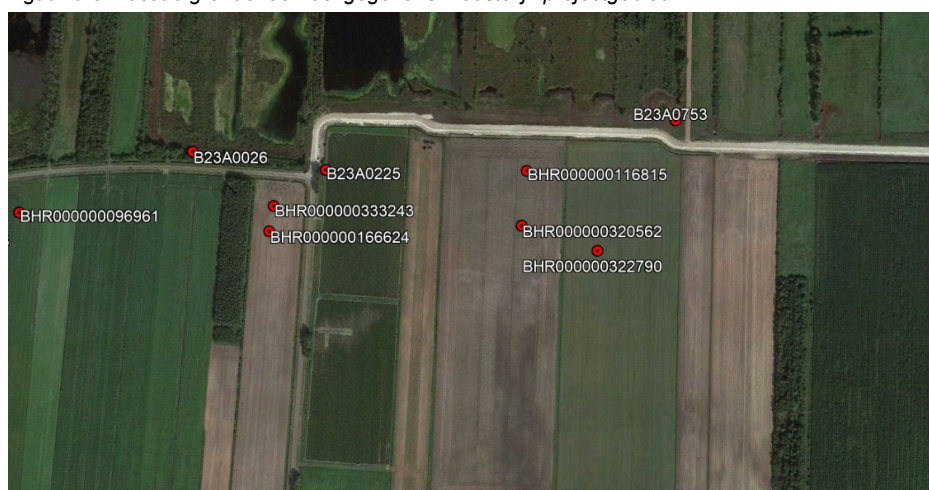
Figuur 5-1 Locatie grondonderzoekgegevens – westelijk projectgebied



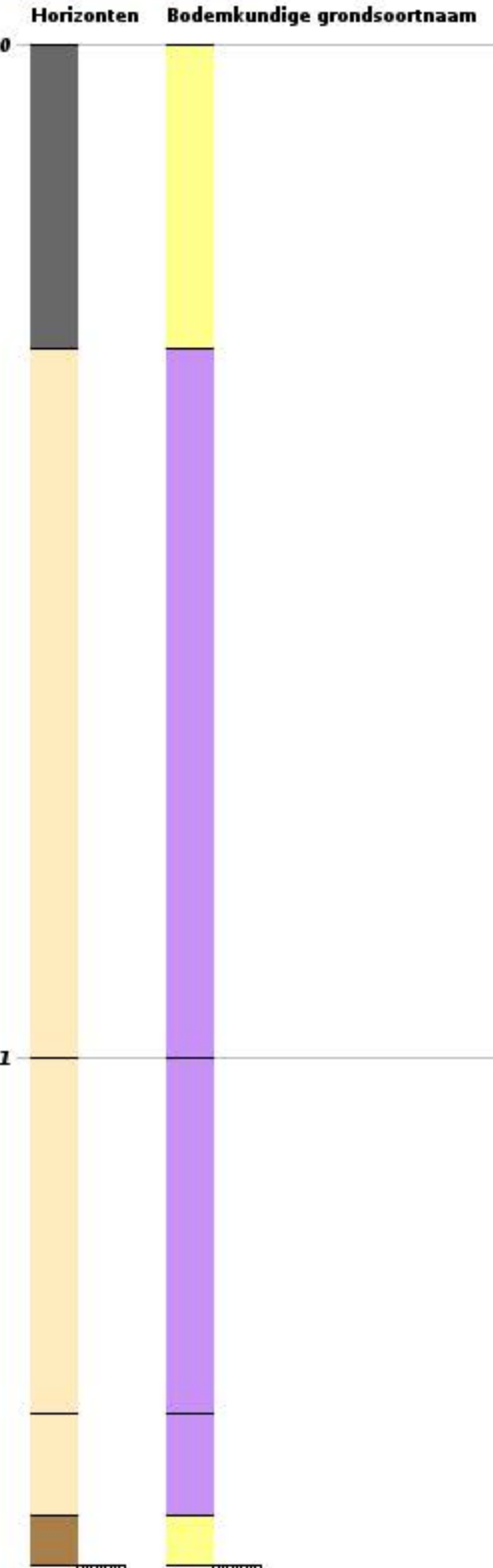
Figuur 5-2 Locatie grondonderzoekgegevens – midden projectengebied



Figuur 5-3 Locatie grondonderzoekgegevens – oostelijk projectgebied



# Boormonsterprofiel



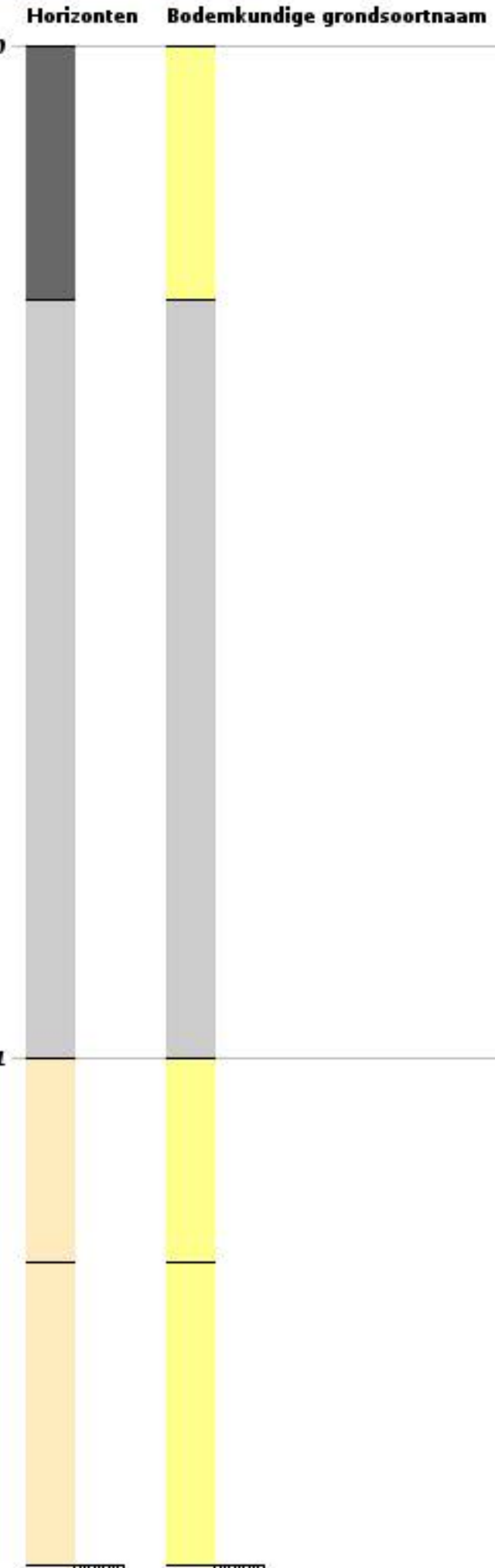
BRO-ID : BHR000000091087  
Aangeleverde coördinaten : 265377.000 , 519856.000 (RD)  
Dieptetraject t.o.v. Maaiveld: 0.00 m - 1.50 m  
Einddiepte t.o.v. Maaiveld: 1.50 m  
Startdatum boring: 01-2000  
Bodemclassificatie: 1ts

Horizonten Bodemkundige grondsoortnaam

A-horizont	Veen
B-horizont	Zand
C-horizont	

# Boormonsterprofiel

Diepte in meters t.o.v. maaiveld



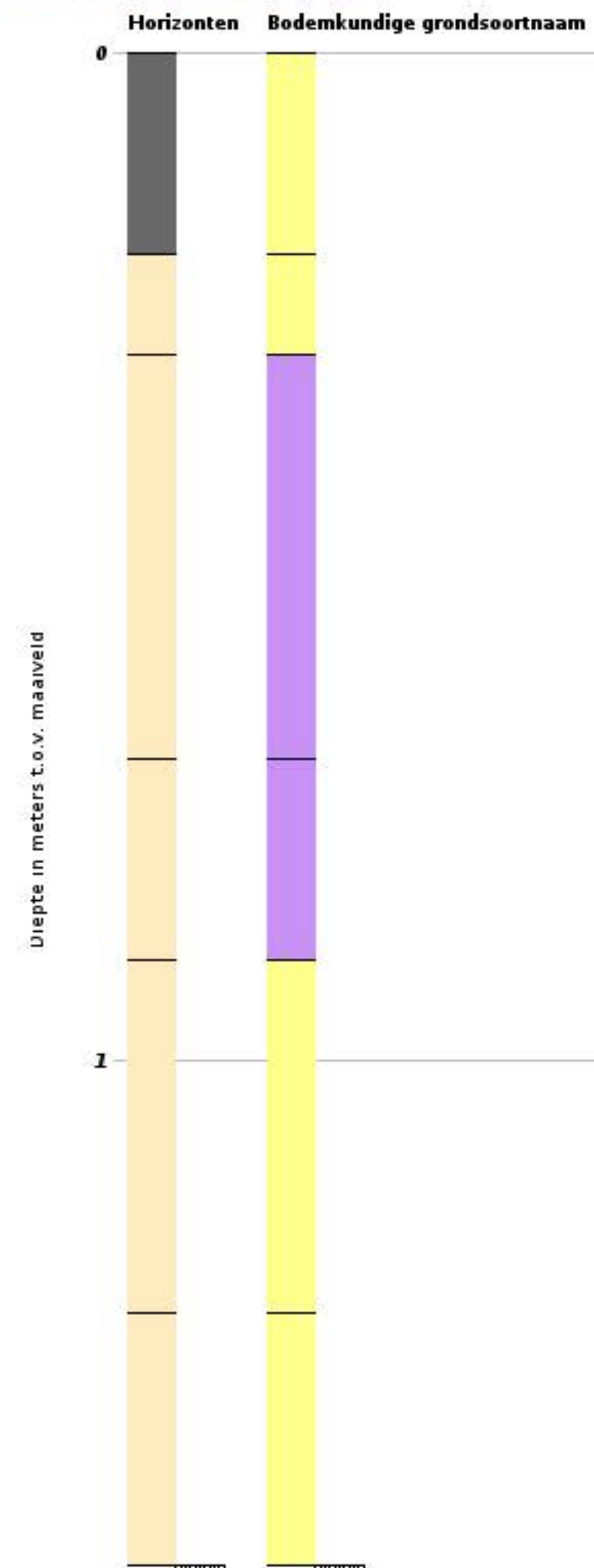
Horizonten	Bodemkundige grondsoortnaam
0	
1	

BRO-ID : BHR000000096961  
Aangeleverde coördinaten : 266392.000 , 519924.000 (RD)  
Dieptetraject t.o.v. Maaiveld: 0.00 m - 1.50 m  
Einddiepte t.o.v. Maaiveld: 1.50 m  
Startdatum boring: 12-2002  
Bodemclassificatie: 2I 431 F

Horizonten Bodemkundige grondsoortnaam

A-horizont	Zand
C-horizont	Gemengde grondsoorten
Gemengde horizonten	

## Boormonsterprofiel



BRO-ID : BHR00000011681

Aangeleverde coördinaten :

Dieptetraject t.o.v. Maaiveld: 0.00 m - 1.50 m

Einddiepte t.o.v. Maaiveld: 1.50 m

Startdatum boring: 11-200

Bodemclassificatie: 1t z9

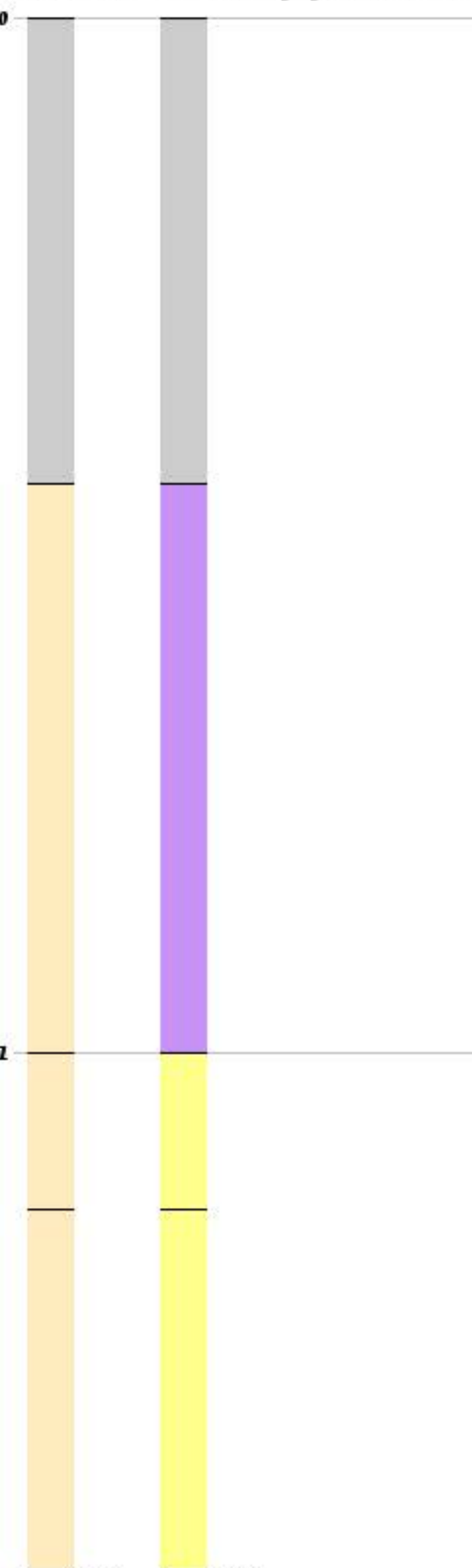
## Horizonten Bodemkundige grondsoortnaam

A-horiz  
C-horiz

Zam  
Vee

# Boormonsterprofiel

## Horizonten Bodemkundige grondsoortnaam

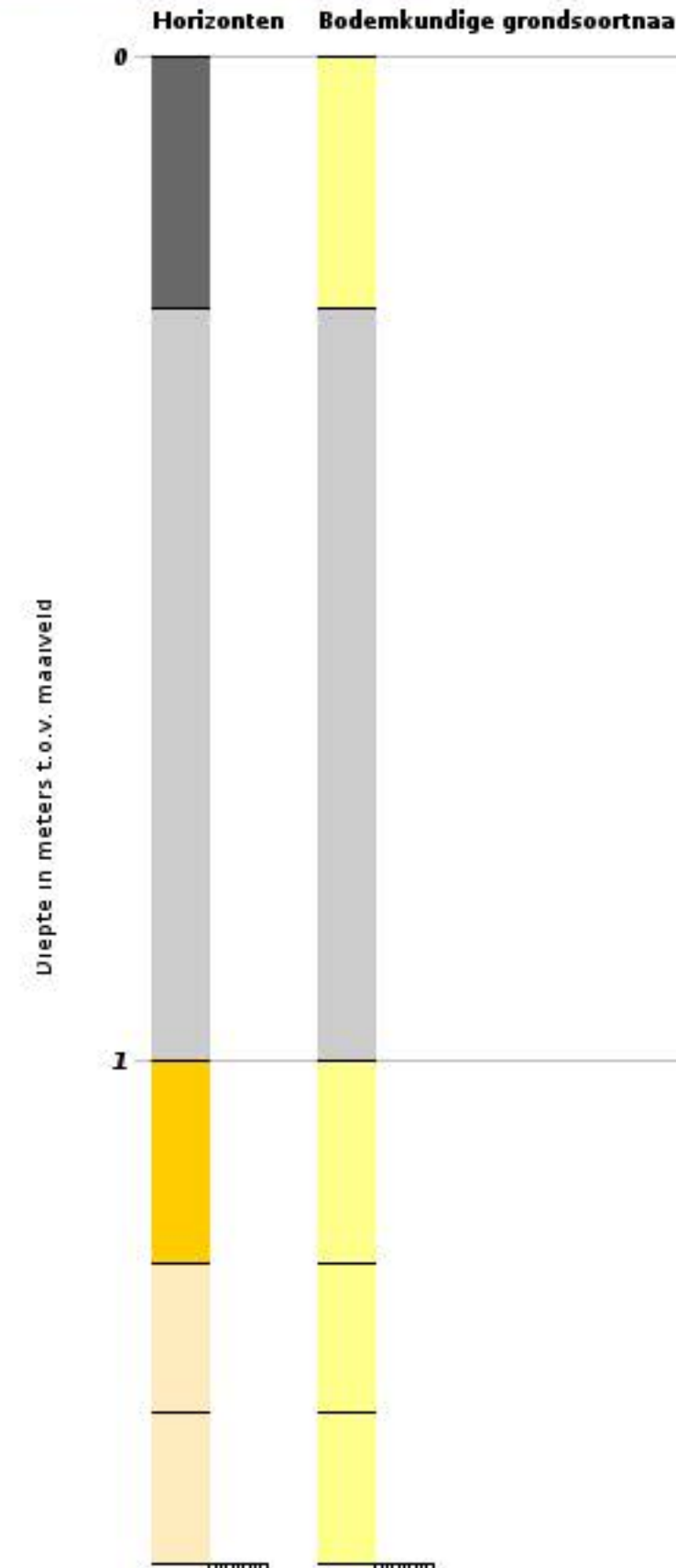


BRO-ID : BHR000000131460  
Aangeleverde coördinaten : 265016.000 , 519921.000 (RD)  
Dieptetraject t.o.v. Maaiveld: 0.00 m - 1.50 m  
Einddiepte t.o.v. Maaiveld: 1.50 m  
Startdatum boring: 10-2002  
Bodemclassificatie: 1t z10 F

## Horizonten Bodemkundige grondsoortnaam

C-horizont	Zand
Gemengde horizonten	Veen
	Gemengde grondsoorten

# Boormonsterprofiel

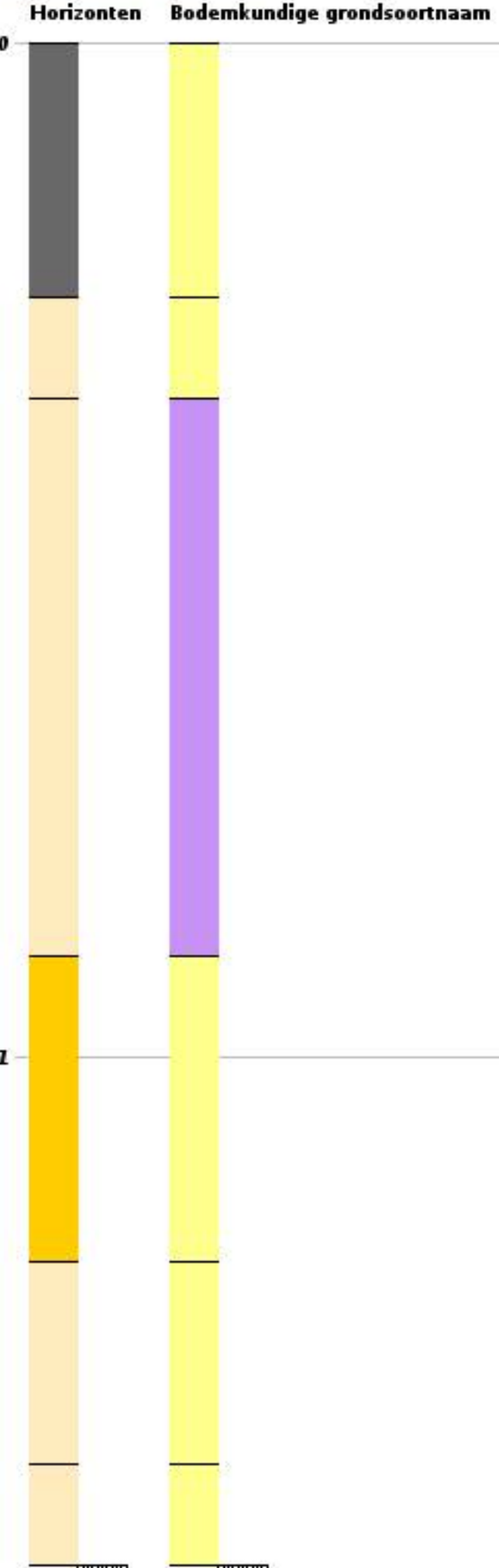


BRO-ID : BHR000000143430  
Aangeleverde coördinaten : 264262.000 , 520066.000 (RD)  
Dieptetraject t.o.v. Maaiveld: 0.00 m - 1.50 m  
Einddiepte t.o.v. Maaiveld: 1.50 m  
Startdatum boring: 07-1991  
Bodemclassificatie: 1t p10 F

Horizonten	Bodemkundige grondsoortnaam
A-horizont	Zand
C-horizont	Gemengde grondsoorten
BC-horizont	
Gemengde horizonten	

# Boormonsterprofiel

Diepte in meters t.o.v. maaiveld



BRO-ID : BHR000000156939  
Aangeleverde coördinaten : 265974.000 , 519847.000 (RD)  
Dieptetraject t.o.v. Maaiveld: 0.00 m - 1.50 m  
Einddiepte t.o.v. Maaiveld: 1.50 m  
Startdatum boring: 12-2002  
Bodemclassificatie: 1t p9 F

Horizonten	Bodemkundige grondsoortnaam
A-horizont	Veen
C-horizont	Zand
BC-horizont	

# Boormonsterprofiel

Diepte in meters t.o.v. maaiveld

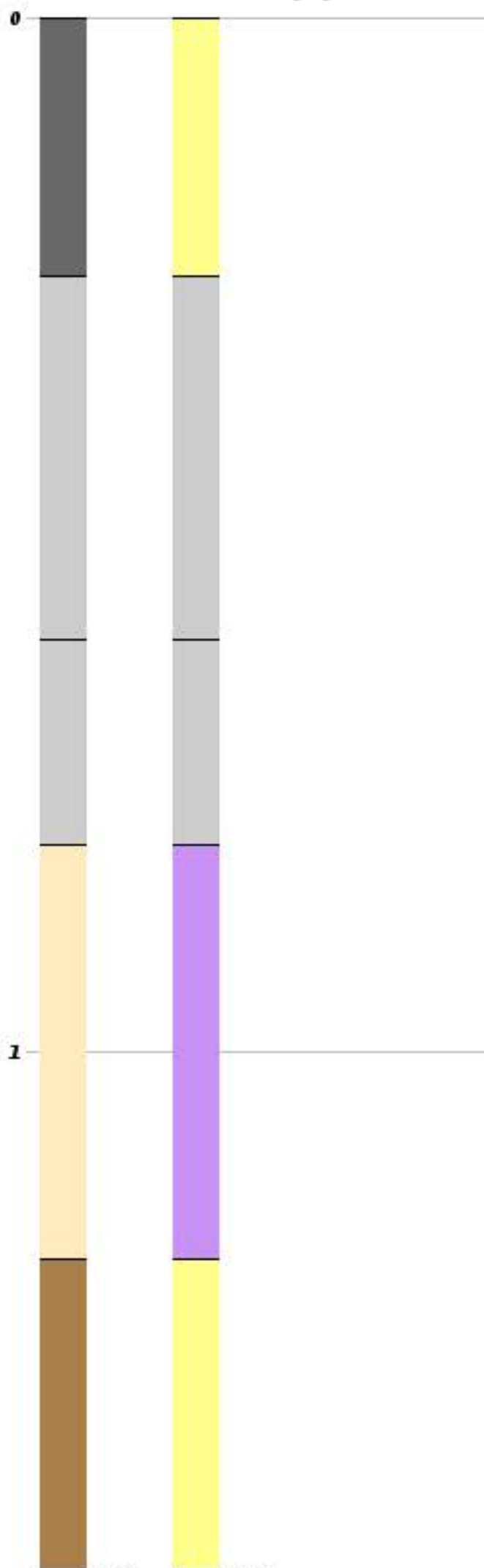


BRO-ID : BHR000000166624  
Aangeleverde coördinaten : 266731.000 , 519889.000 (RD)  
Dieptetraject t.o.v. Maaiveld: 0.00 m - 1.50 m  
Einddiepte t.o.v. Maaiveld: 1.50 m  
Startdatum boring: 12-2002  
Bodemclassificatie: 2I 431 x14 F

Horizonten	Bodemkundige grondsoortnaam
A-horizont	Leem/Silt
C-horizont	Zand
Gemengde horizonten	Gemengde grondsoorten

# Boormonsterprofiel

## Horizonten Bodemkundige grondsoortnaam



BRO-ID :

BHR000000171744

Aangeleverde coördinaten :

266990.000 , 519813.000 (RD)

Dieptetraject t.o.v. Maaiveld: 0.00 m - 1.50 m

Einddiepte t.o.v. Maaiveld: 1.50 m

Startdatum boring: 11-2002

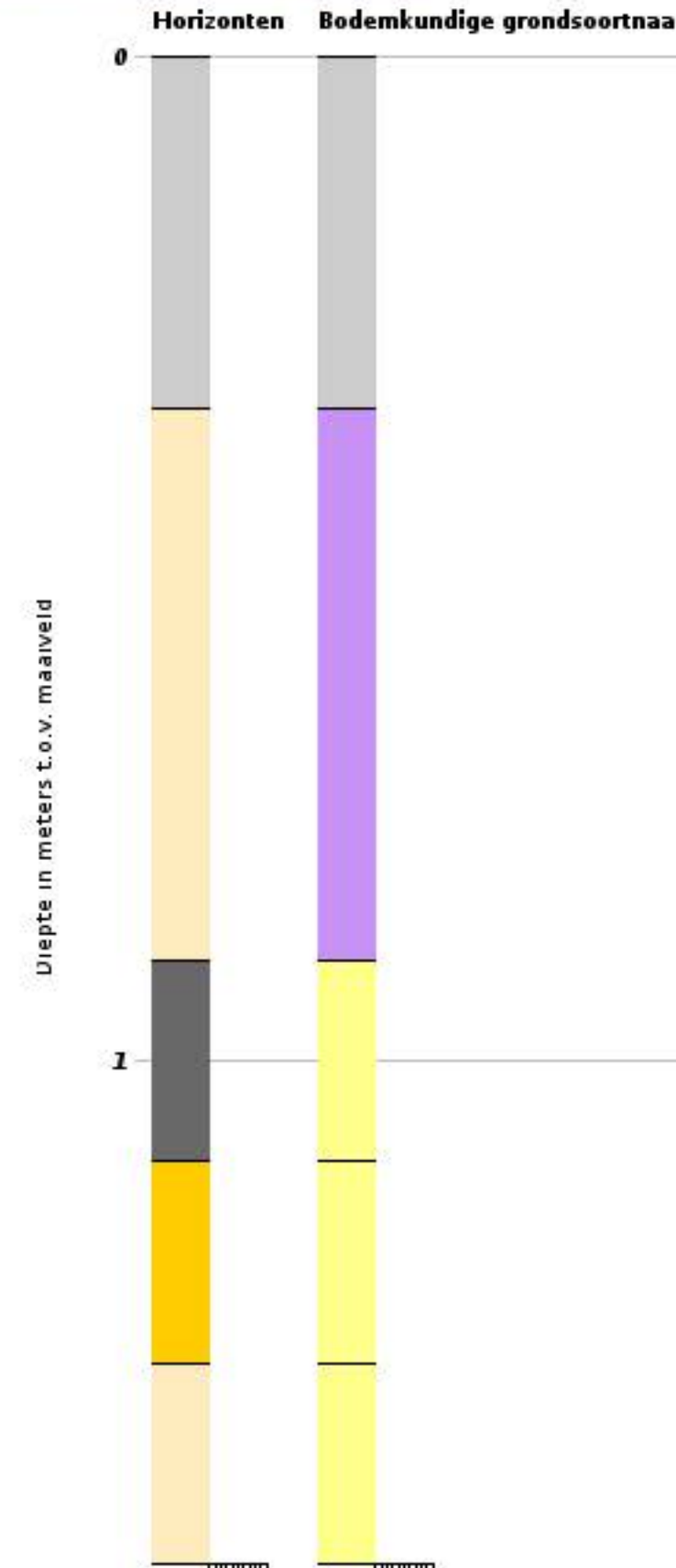
Bodemclassificatie: 2r 431 w8 F

## Horizonten

## Bodemkundige grondsoortnaam

A-horizont	Zand
B-horizont	Veen
C-horizont	Gemengde grondsoorten
Gemengde horizonten	

# Boormonsterprofiel

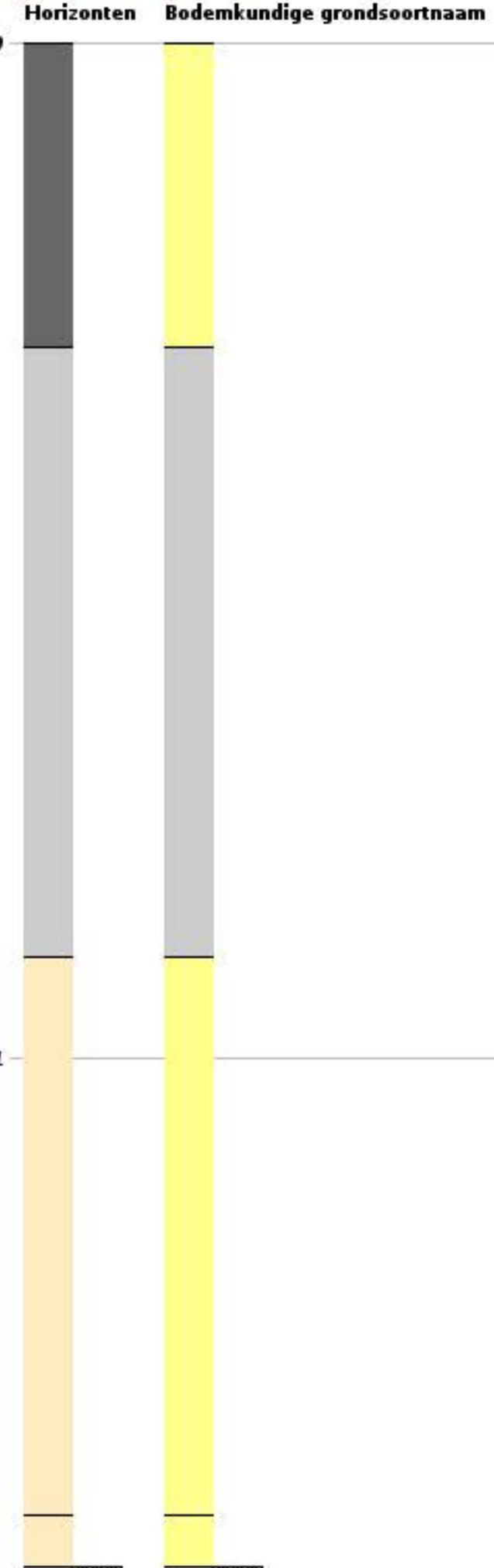


BRO-ID : BHR000000174091  
Aangeleverde coördinaten : 263693.000 , 520175.000 (RD)  
Dieptetraject t.o.v. Maaiveld: 0.00 m - 1.50 m  
Einddiepte t.o.v. Maaiveld: 1.50 m  
Startdatum boring: 10-2002  
Bodemclassificatie: 1t p9 F

Horizonten	Bodemkundige grondsoortnaam
A-horizont	Zand
C-horizont	Veen
BC-horizont	Gemengde grondsoorten
Gemengde horizonen	

# Boormonsterprofiel

Diepte in meters t.o.v. maaiveld



BRO-ID : BHR000000320562

Aangeleverde coördinaten : 267074.000 , 519887.000 (RD)

Dieptetraject t.o.v. Maaiveld: 0.00 m - 1.50 m

Einddiepte t.o.v. Maaiveld: 1.50 m

Startdatum boring: 07-1991

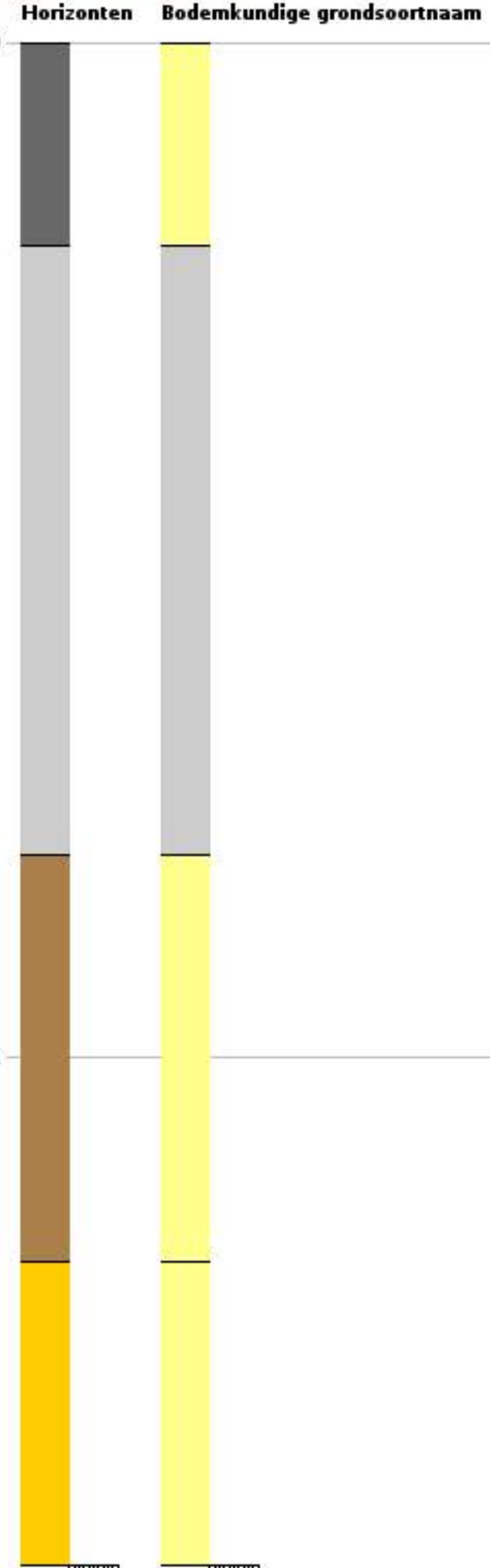
Bodemclassificatie: 1t p9 F

Horizonten Bodemkundige grondsoortnaam

A-horizont	Zand
C-horizont	Gemengde grondsoorten
Gemengde horizonten	

# Boormonsterprofiel

Diepte in meters t.o.v. maaiveld



BRO-ID : BHR000000322790

Aangeleverde coördinaten : 267176.000 , 519850.000 (RD)

Dieptetraject t.o.v. Maaiveld: 0.00 m - 1.50 m

Einddiepte t.o.v. Maaiveld: 1.50 m

Startdatum boring: 11-2002

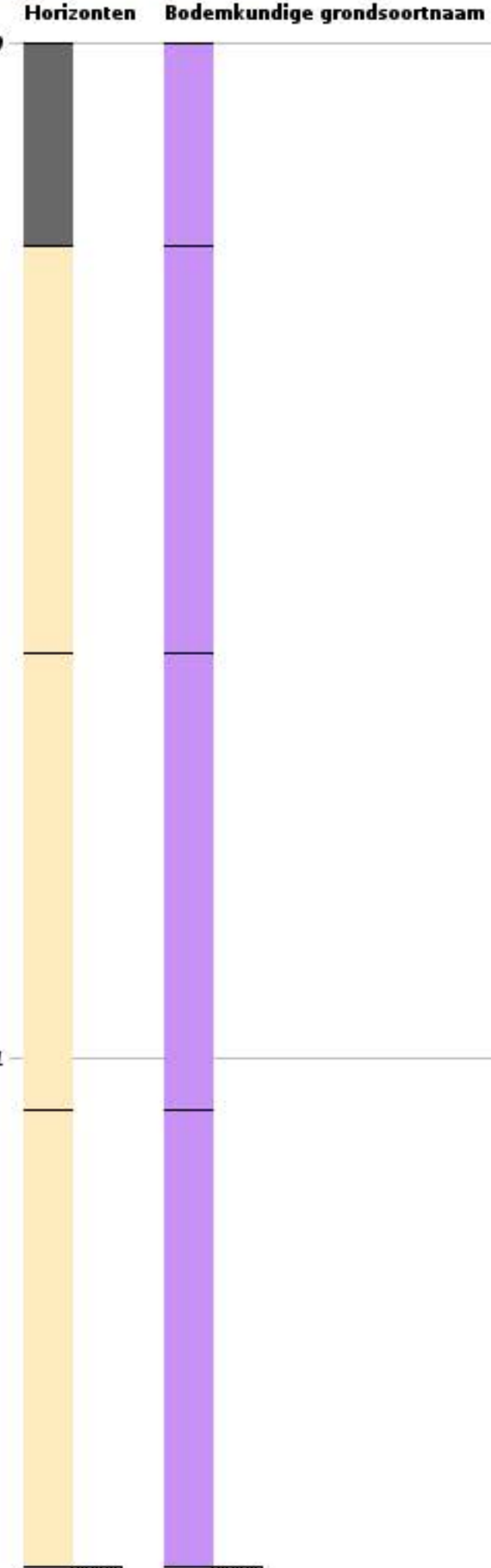
Bodemclassificatie: 2r 431 F

Horizonten Bodemkundige grondsoortnaam

A-horizont	Zand
B-horizont	Gemengde grondsoorten
BC-horizont	
Gemengde horizonten	

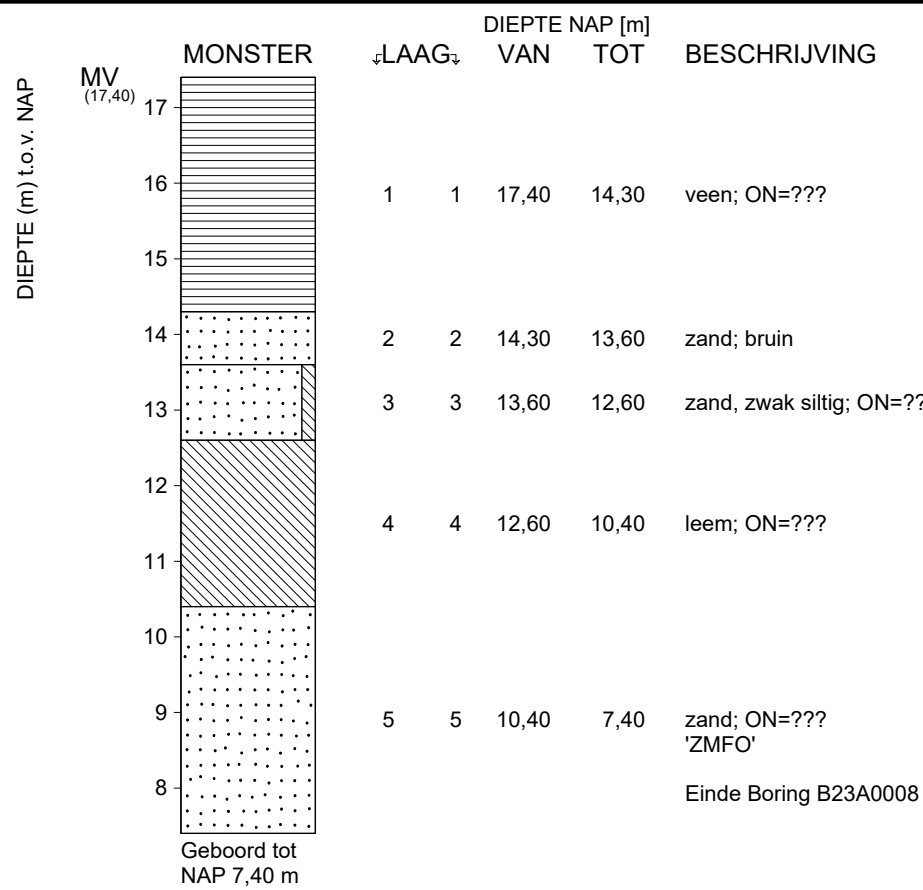
# Boormonsterprofiel

Diepte in meters t.o.v. maaiveld



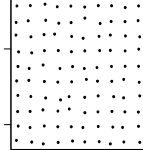
BRO-ID : BHR000000333243  
Aangeleverde coördinaten : 266738.000 , 519923.000 (RD)  
Dieptetraject t.o.v. Maaiveld: 0.00 m - 1.50 m  
Einddiepte t.o.v. Maaiveld: 1.50 m  
Startdatum boring: 07-1991  
Bodemclassificatie: 1h s

Horizonten Bodemkundige grondsoortnaam  
A-horizont Veen  
C-horizont



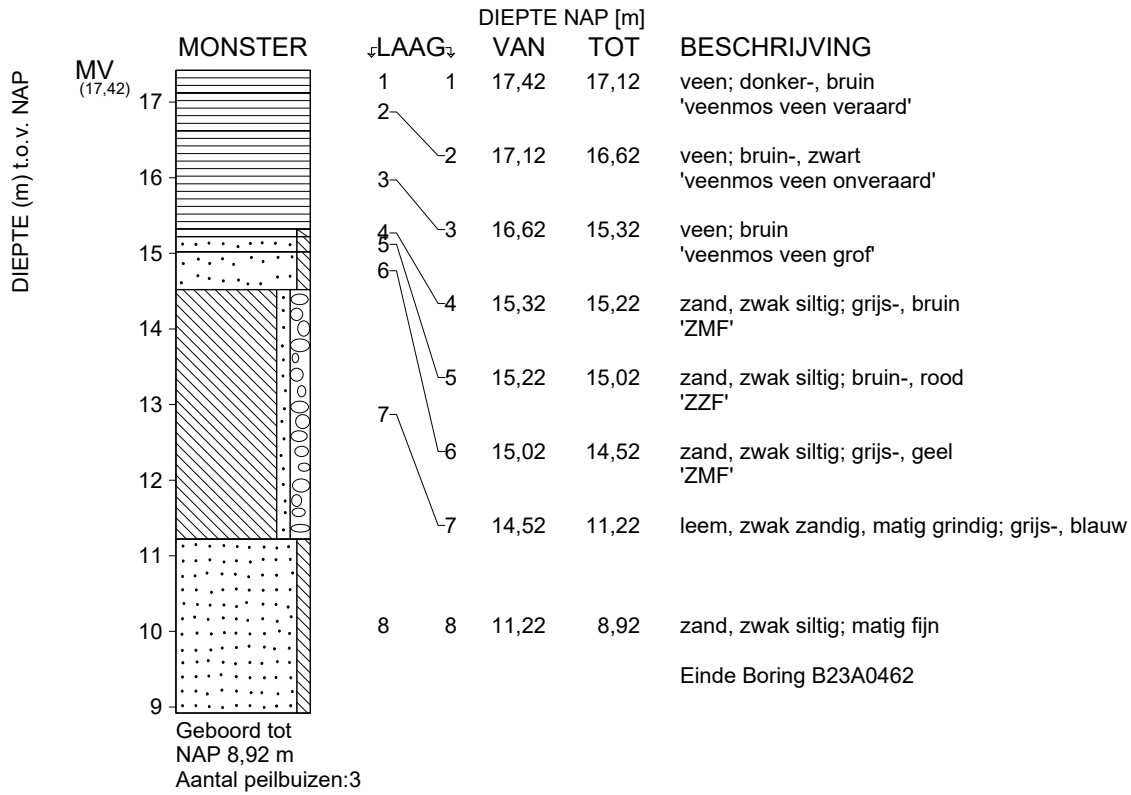
maaiveld: NAP 17,40 m  
 X = 264675 m Y = 519540 m (RD)

<Not Registered>	<Not Registered>	Telefoon	<Not Registered>	datum	get.
<Not Registered>	<Not Registered>	Telefax	<Not Registered>	1969-07-25	
-				DINO-BOR	gez.
-				BIJL.	form. A4

DIEPTE (m) t.o.v. NAP	MONSTER	LAAG	DIEPTE NAP [m]			BESCHRIJVING
			VAN	TOT		
MV (15,67)			1	1	15,67	13,67 zand
Geboord tot NAP 13,67 m Aantal peilbuizen:1						

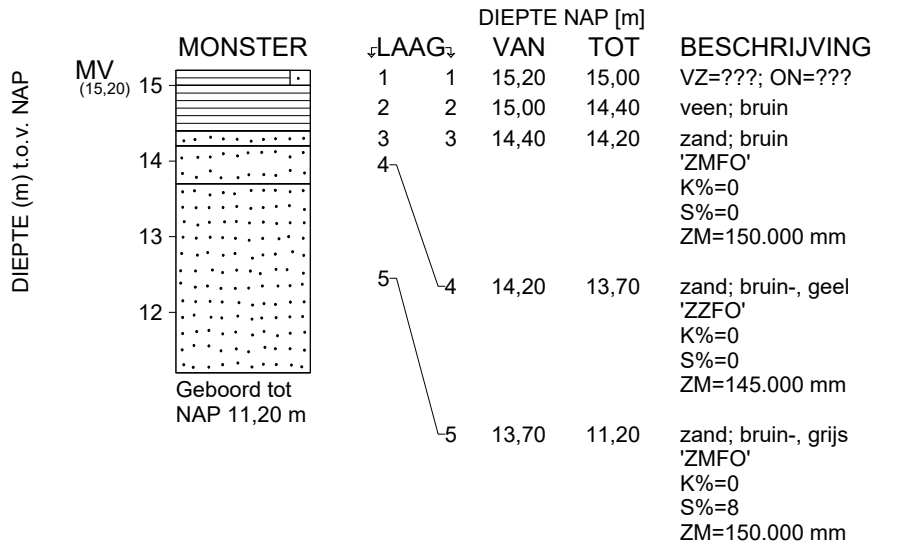
maaveld: NAP 15,67 m  
 X = 263640 m Y = 520300 m (RD)

<Not Registered> <Not Registered>	<Not Registered> <Not Registered> <Not Registered>	Telefoon Telefax	<Not Registered> <Not Registered>	datum 1978-05-05	get.
-				DINO-BOR	gez.
-				BIJL.	form. A4



X = 264814 m Y = 520114 m (RD)

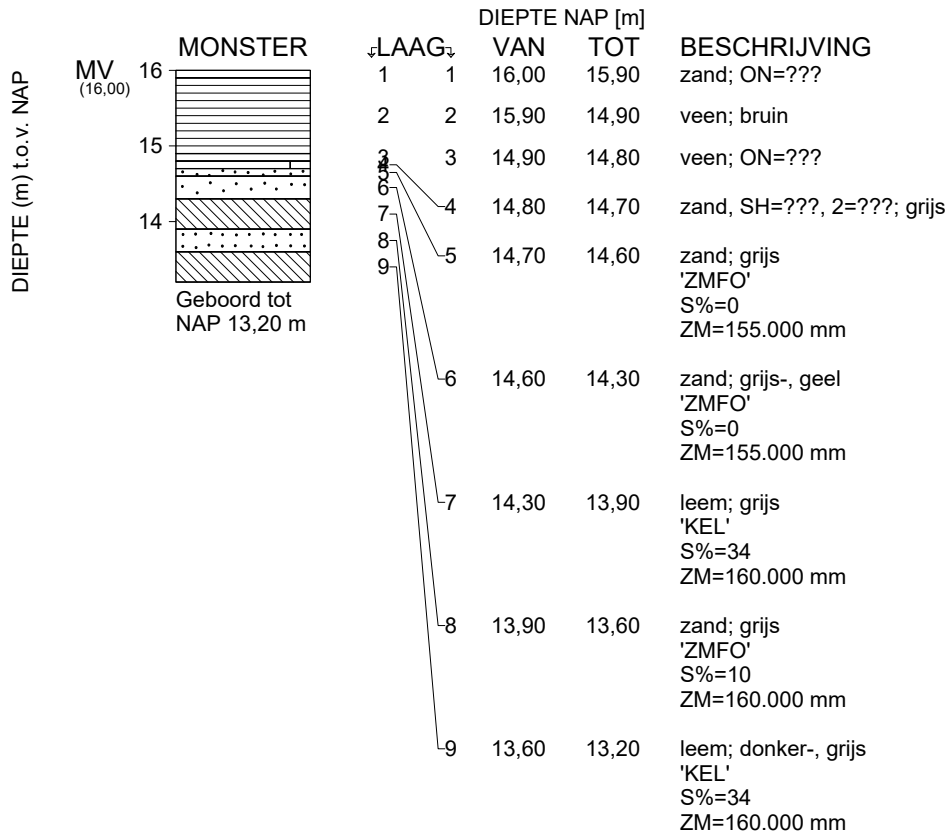
<Not Registered>	<Not Registered>	Telefoon	<Not Registered>	datum	get.
<Not Registered>	<Not Registered>	Telefax	<Not Registered>	2004-11-15	
-				DINO-BOR	gez.
-				BIJL.	form. A4



Einde Boring B23A0492

maaiveld: NAP 15,20 m  
 X = 263500 m Y = 519780 m (RD)

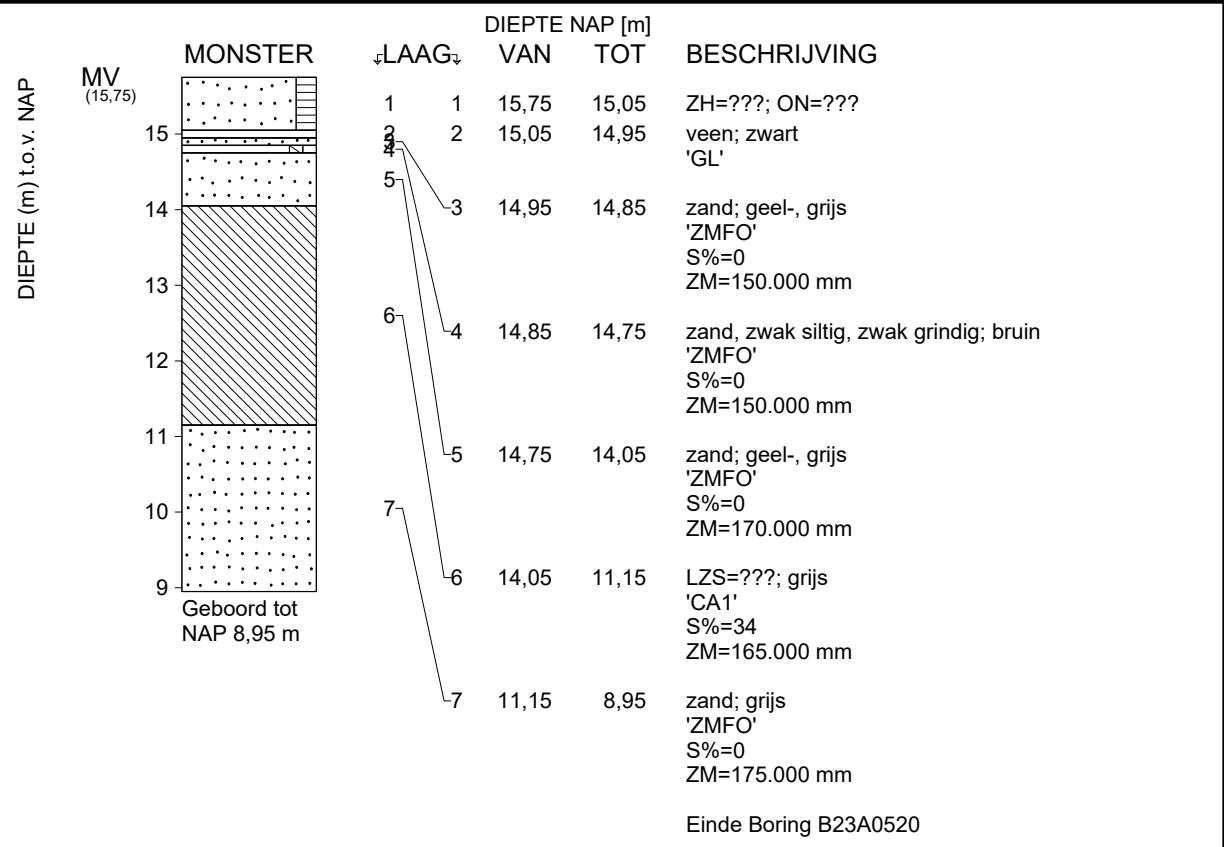
<Not Registered>	<Not Registered>	Telefoon	<Not Registered>	datum	get.
<Not Registered>	<Not Registered> <Not Registered>	Telefax	<Not Registered>	1994-07-15	Bool
-			DINO-BOR		gez.
-			BIJL.		form. A4



Einde Boring B23A0496

maaiveld: NAP 16,00 m  
 X = 264950 m Y = 519450 m (RD)

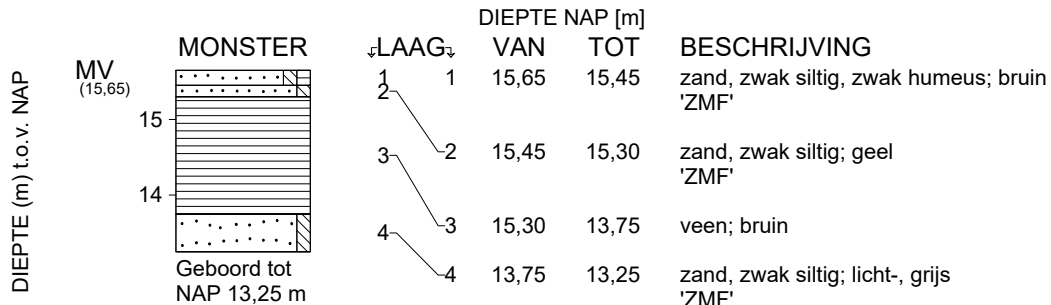
<Not Registered> <Not Registered>	<Not Registered> <Not Registered> <Not Registered>	Telefoon Telefax	<Not Registered> <Not Registered>	datum	get.
-				DINO-BOR	gez.
-				BIJL.	form. A4



maaiveld: NAP 15,75 m  
 X = 264885 m Y = 520030 m (RD)

<Not Registered>	<Not Registered>	Telefoon	<Not Registered>	datum	get.
<Not Registered>	<Not Registered>	Telefax	<Not Registered>	1982-02-17	
-				DINO-BOR	gez.
-				BIJL.	form. A4

DIEPTE (m) t.o.v. NAP	MONSTER	DIEPTE NAP [m]			BESCHRIJVING
		LAAG	VAN	TOT	
MV (18,00)	18	1	18,00	16,80	veen; bruin
	17	2	16,80	16,40	veen; licht-, bruin
	16	3	16,40	15,60	zand; licht-, geel-, grijs 'ZZFO' S%=0 ZM=145.000 mm
	15	4	15,60	14,60	zand; grijs 'ZZFO' S%=0 ZM=140.000 mm
Geboord tot NAP 14,60 m					
Einde Boring B23A0523					
maaiveld: NAP 18,00 m X = 265030 m Y = 520000 m (RD)					
<Not Registered> <Not Registered>			<Not Registered> <Not Registered> <Not Registered>	Telefoon Telefax	<Not Registered> <Not Registered>
-					datum
-					get.
					DINO-BOR
					gez.
					BIJL.
					form.
					A4



Einde Boring B23A0750

GWS 1,00

X = 263935 m Y = 520185 m (RD)

<Not Registered> <Not Registered>	<Not Registered> <Not Registered> <Not Registered>	Telefoon Telefax	<Not Registered> <Not Registered>	datum <b>2011-03-03</b>	get.
-				<b>DINO-BOR</b>	gez.
-				<b>BIJL.</b>	form. <b>A4</b>

DIEPTE (m) t.o.v. NAP	MV (15,73)	MONSTER	DIEPTE NAP [m]			BESCHRIJVING
			LAAG	VAN	TOT	
15			1	15,73	15,53	zand, zwak siltig, zwak humeus; bruin 'ZMF'
14		Geboord tot NAP 13,73 m	2	15,53	15,43	zand, zwak siltig; geel 'ZMF'
			3	15,43	15,28	zand, zwak siltig; licht-, bruin 'ZMF'
			4	15,28	14,33	veen; bruin
			5	14,33	13,73	zand, zwak siltig; licht-, grijs 'ZMF'

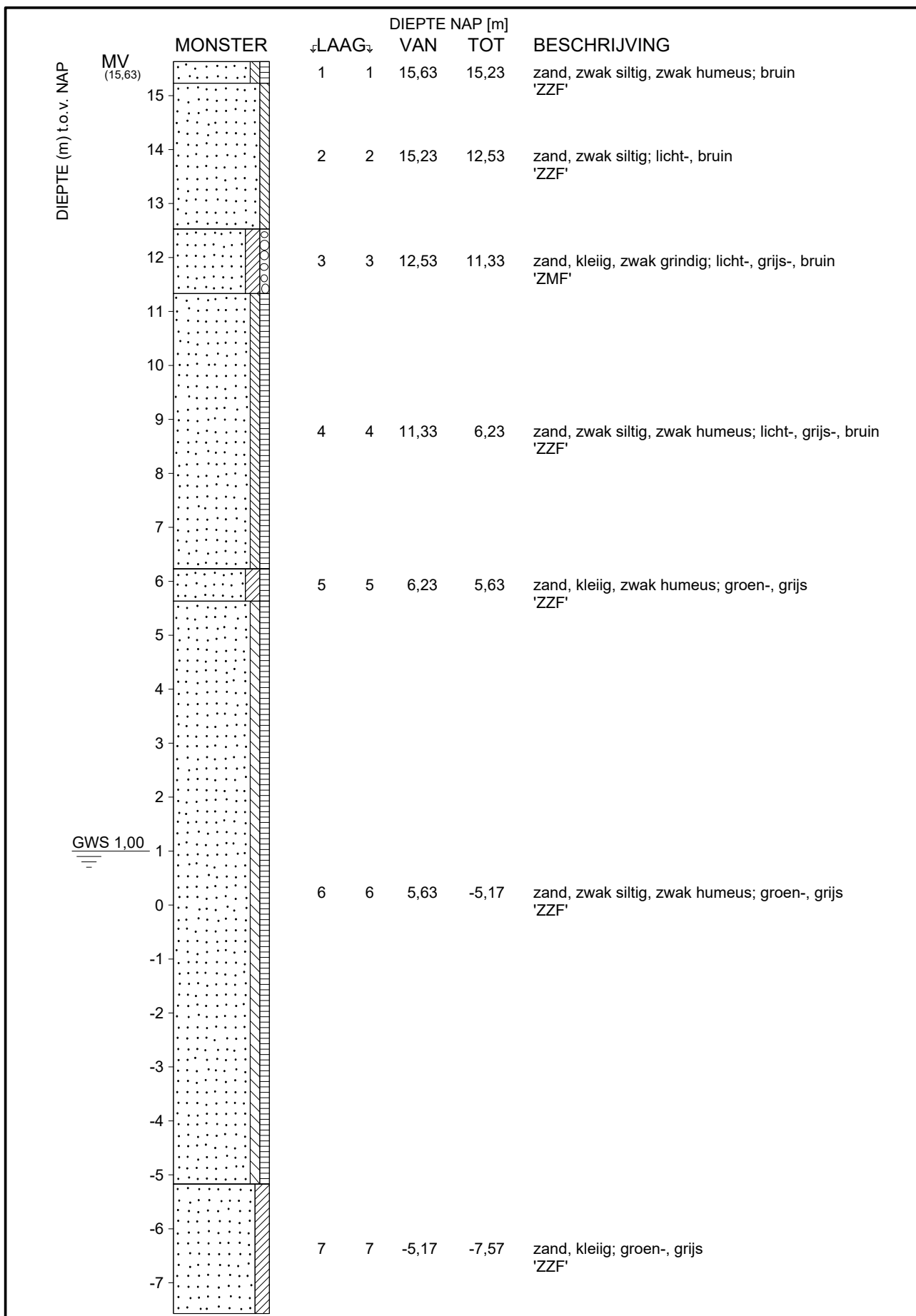
Einde Boring B23A0751

GWS 1,00

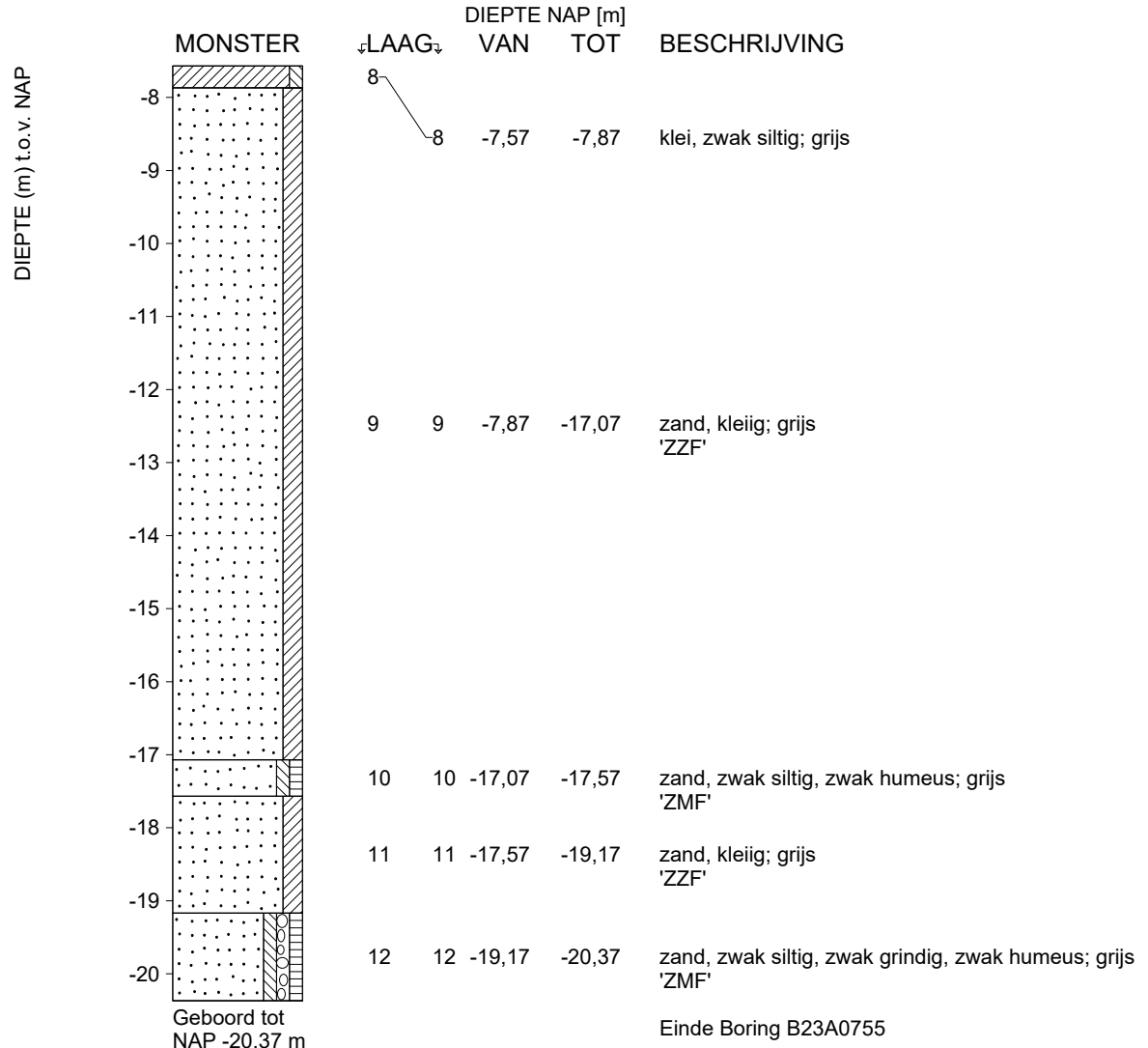
X = 263916 m Y = 520166 m (RD)

<Not Registered> <Not Registered>	<Not Registered> <Not Registered>	Telefoon Telefax	<Not Registered> <Not Registered>	datum <b>2011-03-03</b>	get.
-				DINO-BOR	gez.
-				BIJL.	form. A4

DIEPTE (m) t.o.v. NAP	MV (15,77)	MONSTER	LAAG	DIEPTE NAP [m]			BESCHRIJVING
				VAN	TOT		
15			1	15,77	15,52		zand, zwak siltig, zwak humeus; bruin 'ZMF'
14		Geboord tot NAP 13,87 m	2	15,52	15,47		zand, zwak siltig; licht-, bruin 'ZMF'
			3	15,47	15,27		zand, zwak siltig, matig humeus; donker-, bruin 'ZUF'
			4	15,27	14,47		zand, zwak siltig; licht-, bruin 'ZMF'
			5	14,47	13,87		zand, zwak siltig; licht-, grijs 'ZZF'
Einde Boring B23A0752							
<u>GWS 1,00</u>							
X = 263946 m Y = 520162 m (RD)							
<Not Registered>	<Not Registered>	<Not Registered>		Telefoon	<Not Registered>	datum	get.
<Not Registered>		<Not Registered>	<Not Registered>	Telefax	<Not Registered>	2011-03-03	
-						DINO-BOR	gez.
-						BIJL.	form. A4



<Not Registered>	<Not Registered>	Telefoon	<Not Registered>	datum	get.
<Not Registered>	<Not Registered>	Telefax	<Not Registered>	2011-03-19	
-				DINO-BOR	gez.
-	[Blad 1 / 2]			BIJL.	form. A4



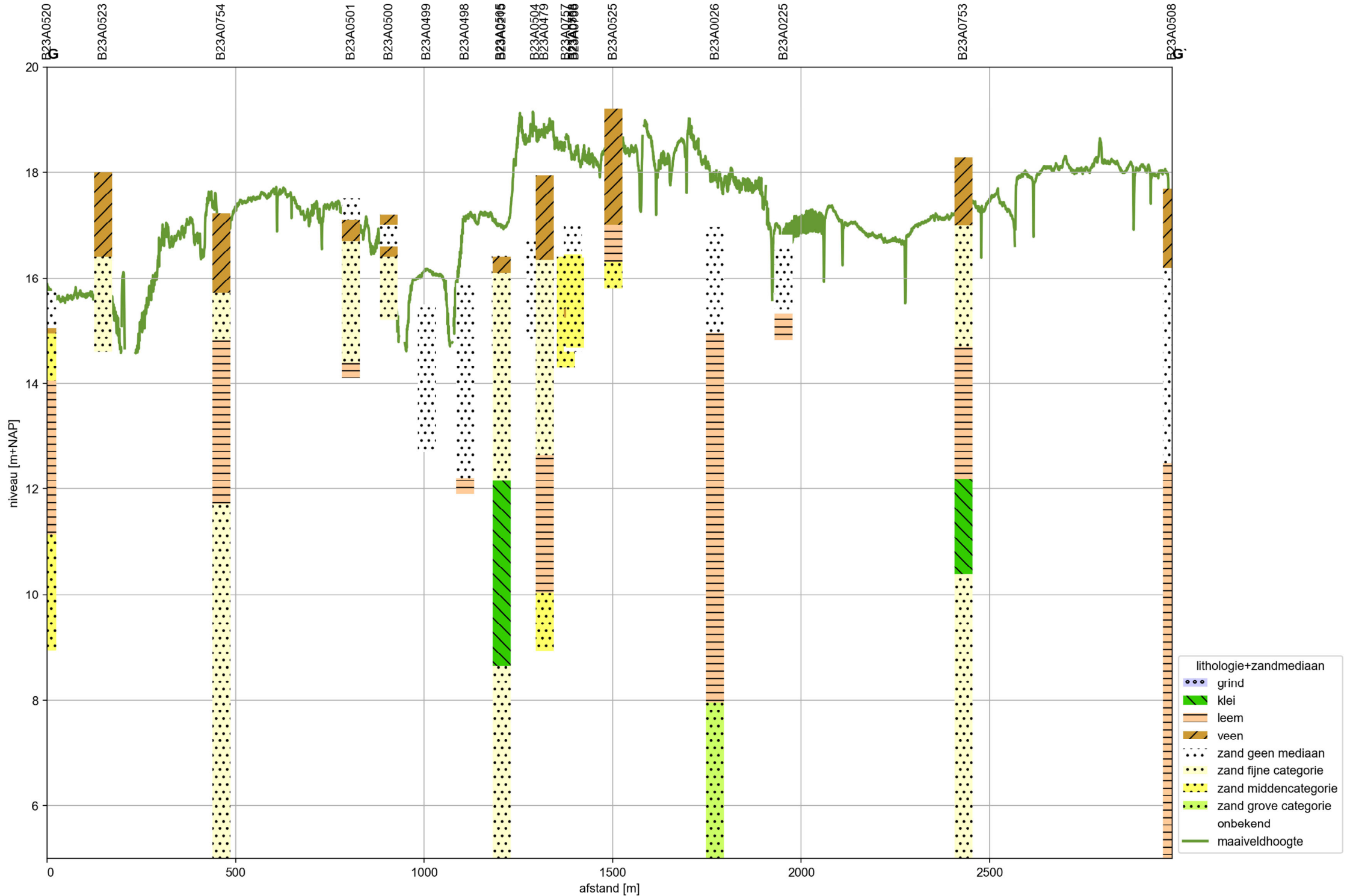
X = 263922 m Y = 520188 m (RD)

<Not Registered>	<Not Registered>	Telefoon	<Not Registered>	datum	get.
<Not Registered>	<Not Registered>	Telefax	<Not Registered>	2011-03-19	
-				DINO-BOR	gez.
-	[Blad 2 / 2]			BIJL.	form. A4

Mp	X-coor (m)	Y-coor (m)	Maaiveld (m.l)	Boordatum	Van (m-Mv)	Tot (m-Mv)	Hoofdsoort	Zandklasse	Bijm.Klei	Bijm.Silt	Bijm.Zand	Bijm.Grind	Bijm.Humus	Kleur
BV01	264798	520058	16,36	8-5-2017	0	0,5	Veen				zwak zandig			
BV01	264798	520058	16,36	8-5-2017	0,5	1	Veen				zwak zandig			
BV01	264798	520058	16,36	8-5-2017	1	1,5	Veen				zwak zandig			
BV01	264798	520058	16,36	8-5-2017	1,5	1,75	Veen				zwak zandig			
BV01	264798	520058	16,36	8-5-2017	1,75	1,85	Zand	matig fijn		zwak siltig			zwak humeus	
BV01	264798	520058	16,36	8-5-2017	1,85	2,05	Zand	matig fijn		zwak siltig				
BV01	264798	520058	16,36	8-5-2017	2,05	2,5	Zand	matig fijn		zwak siltig		zwak grindig		
BV01	264798	520058	16,36	8-5-2017	2,5	3,5	Leem				zwak zandig	zwak grindig		
BV01	264798	520058	16,36	8-5-2017	3,5	3,8	Zand	matig fijn		zwak siltig		zwak grindig		grijs
BV01	264798	520058	16,36	8-5-2017	3,8	5,1	Leem				zwak zandig	zwak grindig		
BV01	264798	520058	16,36	8-5-2017	5,1	7	Zand	matig fijn		zwak siltig				licht grijs

Mp	X-coor (m)	Y-coor (m)	Maaiveld (m.l)	Boordatum	Van (m-Mv)	Tot (m-Mv)	Hoofdsoort	Zandklasse	Bijm.Klei	Bijm.Silt	Bijm.Zand	Bijm.Grind	Bijm.Humus	Kleur
BV02	264816	520092	17,19	5-5-2017	0	0,3	Veen				zwak zandig			
BV02	264816	520092	17,19	5-5-2017	0,3	0,7	Veen				zwak zandig			
BV02	264816	520092	17,19	5-5-2017	0,7	2	Veen				zwak zandig			
BV02	264816	520092	17,19	5-5-2017	2	2,2	Zand	matig fijn		zwak siltig			zwak humeus	
BV02	264816	520092	17,19	5-5-2017	2,2	2,8	Zand	matig fijn		zwak siltig				
BV02	264816	520092	17,19	5-5-2017	2,8	3,5	Leem				zwak zandig	zwak grindig		
BV02	264816	520092	17,19	5-5-2017	3,5	3,7	Leem				zwak zandig	zwak grindig		
BV02	264816	520092	17,19	5-5-2017	3,7	4,2	Leem				sterk zandig	zwak grindig		
BV02	264816	520092	17,19	5-5-2017	4,2	4,6	Zand	matig fijn		matig siltig		zwak grindig		grijs
BV02	264816	520092	17,19	5-5-2017	4,6	5,3	Leem				zwak zandig	zwak grindig		
BV02	264816	520092	17,19	5-5-2017	5,3	7,5	Zand	matig fijn		zwak siltig				licht grijs





## Bijlage 5 – Opdrijfcontrole

## Controle opdrijven veldstrekking

**Project** Buffer Zuid Bargerveen  
**Deelproject** Opdrijfcontrole olieleiding  
**Datum** 17 december 2021



Invoer		Doorsnede 1	Doorsnede 2	Doorsnede 3
Buitendiameter PE mantel	mm	400.0	400.0	400.0
Wanddikte PE mantel (aanname)	mm	15.0	15.0	15.0
Buitendiameter stalen mediumbuis	mm	219.1	219.1	219.1
Wanddikte stalen mediumbuis	mm	8.7	8.7	8.7
Soortelijke massa van PE	kg/m <sup>3</sup>	935.0	935.0	935.0
Soortelijke massa van isolatiemateriaal PUR	kg/m <sup>3</sup>	60.0	60.0	60.0
Soortelijke massa van staal	kg/m <sup>3</sup>	7850.0	7850.0	7850.0
Soortelijke massa van grondwater	kg/m <sup>3</sup>	1000.0	1000.0	1000.0
Soortelijke massa van medium in leiding	kg/m <sup>3</sup>	0.0	0.0	0.0
Soortelijke massa van ballastmateriaal	kg/m <sup>3</sup>	0.0	0.0	0.0
Gronddekking	m	2.20	1.50	0.70
Dikte van ballast	m	0.0	0.0	0.0
Grondwaterstand t.o.v. bovenkant leiding	m	1.70	1.00	0.70
Soortelijk gewicht van grond boven de leiding, droog	kN/m <sup>3</sup>	13.00	12.53	19.00
Soortelijk gewicht van grond boven de leiding, nat	kN/m <sup>3</sup>	13.00	12.53	19.00
Marston factor, $f_m$	-	0.3	0.3	0.3

## Resultaat

PE mantel	oppervlakte doorsnede buiswand	mm <sup>2</sup>	18143	18143	18143
	gewicht buis (neerwaarts)	kN/m	0.17	0.17	0.17
	opwaartse kracht	kN/m	-1.23	-1.23	-1.23
PUR isolatiemateriaal	oppervlakte doorsnede PUR	mm <sup>2</sup>	69818	69818	69818
	gewicht buis (neerwaarts)	kN/m	0.04	0.04	0.04
Mediumbuis	oppervlakte doorsnede buiswand	mm <sup>2</sup>	5738	5738	5738
	gewicht buis (neerwaarts)	kN/m	0.44	0.44	0.44
	inhoud	m <sup>3</sup> /m	0.032	0.032	0.032
	gewicht inhoud (neerwaarts)	kN/m	0.00	0.00	0.00
Grond	gewicht,droog	kN/m	1.42	1.37	0.00
	gewicht,nat	kN/m	1.19	0.60	1.41
	neutrale grondbelasting	kN/m	2.61	1.97	1.41
	passieve grondbelasting	kN/m	6.92	4.19	2.15
Ballast	gewicht	kN/m	0.00	0.00	0.00
Totaal	neerwaarts	kN/m	7.57	4.84	2.80
	opwaarts	kN/m	-1.23	-1.23	-1.23
	resultante	kN/m	6.34	3.60	1.57
Veiligheid	voorwaarde > 1,1		<b>6.14</b>	<b>3.92</b>	<b>2.27</b>

## Bijlage 6 – Leidingsterkteberekening

**Algemene gegevens**

Naam van het project : Buffer Zuid te Bargerveen  
 Projectonderdeel : NAM leiding - Locatie 1 - BC met druk  
 Importantiefactor S : 1

**Materiaalgegevens**

Materiaalsoort:	Staal	
Kwaliteit:	NEN-EN ISO 3183 L360	
Rekgrens van het materiaal bij 20°C	$R_e$	= 360 N/mm <sup>2</sup>
Elasticitetsmodulus	$E$	= 205800 N/mm <sup>2</sup>
Lineaire uitzettingscoëfficiënt	$\alpha_g$	= 1,2·10 <sup>-5</sup> mm/(mm·K)
Alfa Tangentieel / Alfa Axiaal	$\alpha_\sigma$	= 1 -
Toelaatbare deflectie	$\delta$	= 15,00 %

**Leidinggegevens**

Uitwendige middellijn	$D_e$	= 219,10 mm
Wanddikte	$d_n$	= 8,68 mm
Dikte bekleding	$e$	= 100 mm
Geen bocht aanwezig		
Minimale wanddikte	$d$	= 8,68 mm

**Procesgegevens**

Soort leiding (Vloeistof / Gas / Drukloos)		= Vloeistof
Ontwerpdruck	$p_d$	= 10 N/mm <sup>2</sup>
Volumieke massa medium	$\rho$	= 900 kg/m <sup>3</sup>
Temperatuurverschil	$\Delta_t$	= 10 °

**Aanleggegevens**

Liggings: Evenwijdig aan een waterstaatswerk		
Zettingslengte	$L$	= 40.000 mm
Dekking van de leiding t.o.v. maaiveld	$H$	= 2,2 m
Belastinghoek	$\alpha$	= 180 °
Ondersteuningshoek	$\beta$	= 70 °
Uitvoeringszakkingverschil	$f_v$	= 0 mm
Zettingsverschil	$f_z$	= 200,0 mm
Klinkpercentage	$\mu$	= 0,1 %
Marstonfactor	$f_m$	= 0,3 -

**Gegevens waterstaatswerk i.v.m. berekening veiligheidszone**

Waterstaatswerk: Verheeld

**Grondmechanische gegevens**

Grondsoort	= Zand	
Volumiek gewicht droge grond	$\gamma_d$	= 17 kN/m <sup>3</sup>
Inwendige wrijvingshoek grond	$\varphi$	= 30 °
Effectieve cohesie	$c'$	= 0 kN/m <sup>2</sup>
Ongedraineerde schuifsterkte	$c_u$	= 0 kN/m <sup>2</sup>
Minimale verticale beddingconstante	$k_{v,min}$	= 0,02 N/mm <sup>3</sup>
Gemiddelde verticale beddingconstante	$k_{v,gem}$	= 0,03 N/mm <sup>3</sup>
E-modulus ondergrond	$E_{100}$	= 15 MN/m <sup>2</sup>
Niet rekenen met horizontale steundruk		
Geen grondmechanisch onderzoek uitgevoerd	$\gamma$	= 1,1

**Verkeersbelasting**

Grafiek II:

Fatigue Load Model 2, Lorry 4

Niet rekenen met ontlastende invloed wegdek

**1. Eigenschappen van de leiding**

Inwendige middellijn	$D_i = D_e - 2 \cdot d_n$	= 201,74	mm
Gemiddelde middellijn	$D_g = (D_e + D_i)/2$	= 210,42	mm
Uitwendige middellijn+bekleding	$D_o = D_e + 2 \cdot e$	= 419,10	mm
Uitwendige straal	$r_e = D_e / 2$	= 109,55	mm
Inwendige straal	$r_i = D_i / 2$	= 100,87	mm
Gemiddelde straal	$r_g = (r_e + r_i) / 2$	= 105,21	mm
Traagheidsmoment buis	$I_b = (D_e^4 - D_i^4) \cdot \pi/64$	= 31.811.125,91	mm <sup>4</sup>
Weerstandsmoment buis	$W_b = I_b / r_e$	= 290.379,97	mm <sup>3</sup>
Wandtraagheidsmoment	$I_w = d_n^3 / 12$	= 54,50	mm <sup>4/mm<sup>1</sup></sup>
Wandweerstandsmoment	$W_w = d_n^2 / 6$	= 12,56	mm <sup>3/mm<sup>1</sup></sup>

**2. Toetsing of vereenvoudigde berekeningsmethode is toegestaan**

Voor vloeistofleidingen geldt:  $H^3 \cdot D_i^5$  moet kleiner dan 40 m<sup>8</sup> zijn.

H is de druk in meters vloeistofkolom.

Rekening houdende met g = 9,81 m/s<sup>2</sup> volgt:

$$H = \frac{p_d}{\rho \cdot g}$$

$$H = \frac{10.000.000}{900 \cdot 9,81} = 1.132,63 \text{ m} \rightarrow H^3 \cdot D_i^5 = 1.132,63^3 \cdot 0,20^5 = 485540,58 \text{ m}^8$$

**3. Berekening van de veiligheidszone**

$$R_B = 8 \cdot \sqrt[8]{H^3 \cdot D_i^5}$$

$$R_B = 8 \cdot \sqrt[8]{1.132,63^3 \cdot 0,20^5} = 41,10 \text{ m}$$

$$\text{Veiligheidszone} = 4 \cdot H_{werk} + R_B = 4 \cdot 0,00 + 41,10 = 41,10 \text{ m}$$

$$D_K = 1,2 \cdot (D_0 + H) = 1,2 \cdot (0,4191 + 2,2) = 3,14 \text{ m}$$

**4. Berekening van de spanningen  $\sigma_p$  en  $\sigma_{pl}$  t.g.v. inwendige druk**

$$D_g/d = 210,42/8,68 = 24,24 \rightarrow D_g/d > 20 \rightarrow \text{Dunwandige leiding}$$

$$\sigma_p = \frac{p_d \cdot D_g}{2 \cdot d}$$

$$\sigma_p = \frac{10 \cdot 210,42}{2 \cdot 8,68} = 121,21 \text{ N/mm}^2$$

$$\sigma_{y1} = \sigma_p = 121,21 \text{ N/mm}^2$$

$$\sigma_{pl} = \nu \cdot \sigma_p = 0,3 \cdot 121,21 = 36,36 \text{ N/mm}^2$$

$$\text{Toelaatbare spanning: } 0,72 \cdot R_e \cdot S = 0,72 \cdot 1,00 \cdot 360,00 = \mathbf{259,20 \text{ N/mm}^2}$$

**5. Berekening reroundingfactor  $f_{rr}$** 

$$f_{rr} = 1 / (1 + \frac{2 \cdot p_d \cdot r_g^3 \cdot k_y}{E \cdot I_w})$$

$$f_{rr} = 1 / (1 + \frac{2 \cdot 10 \cdot 105,21^3 \cdot 0,102}{205800 \cdot 54,50}) = 0,83$$

**6. Berekening van de neutrale grondbelasting  $Q_n$** 

$$q_n = \gamma \cdot \gamma_d \cdot H_d$$

$$q_n = 1,1 \cdot 17 \cdot 2,2 = 41,14 \text{ kN/m}^2$$

$$Q_n = q_n \cdot D_o$$

$$Q_n = 41,14 \cdot 10^{-3} \cdot 419,1 = 17,24 \text{ N/mm}^1$$

**7. Berekening van de passieve grondbelasting  $Q_p$** 

$$q_p = q_n \cdot \left( 1 + f_m \cdot \frac{H}{D_o} \right)$$

$$q_p = 41,14 \cdot \left( 1 + 0,3 \cdot \frac{2,2}{0,4191} \right) = 105,93 \text{ kN/m}^2$$

$$Q_p = q_p \cdot D_o$$

$$Q_p = 105,93 \cdot 10^{-3} \cdot 419,1 = 44,39 \text{ N/mm}^1$$

**8. Berekening van de reële grondbelasting  $Q_k$** 

$$\kappa = 1 - \sin(\varphi) = 1 - \sin(30) = 0,500$$

$$\nu = \frac{\kappa}{1+\kappa} = \frac{0,500}{1+0,500} = 0,33$$

$$E_{100,\text{norm}} = E_{100} \cdot (q_n/100)^{0,5} = 15 \cdot (41,14/100)^{0,5} = 9,62 \text{ MN/m}^2$$

$$E_1 = E_{100,\text{norm}} / \frac{1 - \nu - 2 \cdot \nu^2}{1 - \nu}$$

$$E_1 = 9,62 / \frac{1 - 0,33 - 2 \cdot 0,33^2}{1 - 0,33} = 14,43 \text{ MN/m}^2$$

$$z_{\max} = 0,2 \cdot \frac{D_o}{E_1^{0,5} \cdot \sqrt{H/D_o}}$$

$$z_{\max} = 0,2 \cdot \frac{0,4191}{14,43^{0,5} \cdot \sqrt{2,2/0,4191}} = 0,0096 \text{ m}$$

$$q_k = q_n + \frac{\mu \cdot D_o \cdot (q_p - q_n)}{z_{\max}}$$

$$1 + \frac{q_p - q_n}{z_{\max} \cdot k_{v,\min}}$$

$$q_k = 41,14 + \frac{0,1 \cdot 0,4191}{0,0096} \cdot (105,93 - 41,14) = 252,12 \text{ kN/m}^2$$

$$1 + \frac{105,93 - 41,14}{0,0096 \cdot 0,0200 \cdot 10^6}$$

$$Q_k = q_k \cdot D_o$$

$$Q_k = 252,12 \cdot 10^{-3} \cdot 419,1 = 105,66 \text{ N/mm}^1$$

Aanpassing van  $Q_k$  nodig  $\rightarrow Q_k > Q_p \rightarrow Q_k = Q_p = 44,39 \text{ N/mm}^1$

**9. Berekening van de verkeersbelasting  $Q_v$  volgens Grafiek II NEN 3650-1:C.17**

Niet rekenen met ontlastende invloed

$$q_v = 11,41 \text{ kN/m}^2$$

$$Q_v = q_v \cdot D_o$$

$$Q_v = 11,41 \cdot 10^{-3} \cdot 419,1 = 4,78 \text{ N/mm}^1$$

**10. Berekening van de stijfheidsverhouding grond/leiding  $\lambda$** 

$$\lambda = \sqrt[4]{\frac{D_o \cdot k_{v,gem}}{4 \cdot E \cdot I_b}}$$

$$\lambda = \sqrt[4]{\frac{419,1 \cdot 0,03}{4 \cdot 205800 \cdot 31.811.125,91}} = 0,00083 \text{ mm}^{-1}$$

**11. Berekening van de indirect overgedragen bovenbelasting (1<sup>e</sup> en 2<sup>e</sup> jaar)**

Zettingslengte  $L = 40.000 \text{ mm}$

$$\lambda \cdot L = 0,00083 \cdot 40.000 = 33,30$$

$i = 0,938 (= 93,8 \% \text{ inklemming})$

$B_z = 0,0000626$  (volgens NEN 3651 - 8.5.2.4 tabel 5)

$$Q_z = B_z \cdot f_v \cdot D_o \cdot k_{v,gem}$$

$$Q_z = 0,0000626 \cdot 0 \cdot 419,1 \cdot 0,03 = 0,00 \text{ N/mm}^1$$

$$Q_d = Q_z \cdot \lambda \cdot L \cdot \left( i + \frac{i \cdot \lambda \cdot L}{6} \right)$$

$$Q_d = 0,00 \cdot 0,00083 \cdot 40.000 \cdot \left( 0,938 + \frac{0,938 \cdot 0,00083 \cdot 40.000}{6} \right) = 0,00 \text{ N/mm}^1$$

**12. Berekening van de indirect overgedragen bovenbelasting (na 2 jaar)**

$$Q_z = B_z \cdot (f_v + 2,0 \cdot f_z) \cdot D_o \cdot k_{v,gem}$$

$$Q_z = 0,0000626 \cdot (0 + 2,0 \cdot 200,0) \cdot 419,1 \cdot 0,03 = 0,31 \text{ N/mm}^1$$

$$Q_d = Q_z \cdot \lambda \cdot L \cdot \left( i + \frac{i \cdot \lambda \cdot L}{6} \right)$$

$$Q_d = 0,31 \cdot 0,00083 \cdot 40.000 \cdot \left( 0,938 + \frac{0,938 \cdot 0,00083 \cdot 40.000}{6} \right) = 64,45 \text{ N/mm}^1$$

**13. Berekening evenwichtsdraagvermogen en controle met bovenbelastingen**

Berekening evenwichtsdraagvermogen

$$N_q = e^{\pi \tan(\varphi)} \cdot \tan^2(45^\circ + \varphi/2) = 18,40$$

$$N_y = 1,5 \cdot (N_q - 1) \cdot \tan(\varphi) = 15,07$$

$$B = D_o = 0,42 \text{ m}$$

$$B/L = 0,1$$

$$Z = h + D_o / 2 = 2,20 + 0,42 / 2 = 2,41 \text{ m}$$

$$S_y = 1 - 0,4 \cdot B/L = 0,96$$

$$d_q = 1 + 2 \cdot \tan(\varphi) \cdot (1 - \sin(\varphi))^2 \cdot \tan^{-1}(Z/B) = 1,40$$

$$\gamma'_{gem} = (q_n + \gamma \cdot \gamma_d \cdot D_o / 2) / Z = 18,70 \text{ kN/m}^3$$

$$P_{we} = 0,95 \cdot (0,5 \cdot \gamma'_{gem} \cdot D_o \cdot N_y \cdot S_y \cdot d_q + S_q \cdot N_q \cdot d_q \cdot (q_n + c' \cdot \cot(\varphi)) - c' \cdot \cot(\varphi))$$

$$P_{we} = 1,113,86 \text{ kN/m}^2 = 1,11 \text{ N/mm}^2$$

$$P_{weDo} = P_{we} \cdot D_o = 1,11 \cdot 419,10 = 466,82 \text{ N/mm}^1$$

Controle bovenbelastingen met evenwichtsdraagvermogen

Situatie 1<sup>e</sup> en 2<sup>e</sup> jaar

$$Q_k = 44,39 \text{ N/mm}^1$$

$$Q_v = 4,78 \text{ N/mm}^1$$

$$Q_d = 0,00 \text{ N/mm}^1 +$$

$$\Sigma = 49,18 \text{ N/mm}^1$$

Conclusie:

Geen aanpassing

van  $Q_d$  nodig

Situatie na 2 jaar

$$Q_n = 17,24 \text{ N/mm}^1$$

$$Q_v = 4,78 \text{ N/mm}^1$$

$$Q_d = 64,45 \text{ N/mm}^1 +$$

$$\Sigma = 86,47 \text{ N/mm}^1$$

Conclusie:

Geen aanpassing

van  $Q_d$  nodig

**14. Momenten en spanningen t.g.v. directe en indirecte bovenbelastingen (1<sup>e</sup> en 2<sup>e</sup> jaar)***Moment t.g.v. Q<sub>k</sub> en Q<sub>v</sub>*

$$M_q = K_b \cdot (Q_k + Q_v) \cdot r_g$$

$$M_q = 0,177 \cdot (44,39 + 4,78) \cdot 105,21$$

$$M_q = 915,78 \text{ Nmm/mm}^3$$

*Moment t.g.v. Q<sub>d</sub>*

$$M_{qd} = K_{b,ind} \cdot Q_d \cdot r_g$$

$$M_{qd} = 0,122 \cdot 0,00 \cdot 105,21$$

$$M_{qd} = 0,00 \text{ Nmm/mm}^3$$

*Spanning t.g.v. M<sub>q</sub> en M<sub>qd</sub>*

$$\sigma_q = f_{rr} \cdot (M_q + M_{qd}) / W_w$$

$$\sigma_q = 0,83 \cdot (915,78 + 0,00) / 12,56 = 60,18 \text{ N/mm}^2$$

**15. Momenten en spanningen t.g.v. directe en indirecte bovenbelastingen (na 2 jaar)***Moment t.g.v. Q<sub>n</sub> en Q<sub>v</sub>*

$$M_q = K_b \cdot (Q_n + Q_v) \cdot r_g$$

$$M_q = 0,177 \cdot (17,24 + 4,78) \cdot 105,21$$

$$M_q = 410,15 \text{ Nmm/mm}^3$$

*Moment t.g.v. Q<sub>d</sub>*

$$M_{qd} = K_{b,ind} \cdot Q_d \cdot r_g$$

$$M_{qd} = 0,122 \cdot 64,45 \cdot 105,21$$

$$M_{qd} = 827,20 \text{ Nmm/mm}^3$$

*Spanning t.g.v. M<sub>q</sub> en M<sub>qd</sub>*

$$\sigma_q = f_{rr} \cdot (M_q + M_{qd}) / W_w$$

$$\sigma_q = 0,83 \cdot (410,15 + 827,20) / 12,56 = 81,31 \text{ N/mm}^2$$

**16. Berekening van de spanning σ<sub>bx</sub> t.g.v. uitvoeringszakkingverschil f<sub>v</sub>**

$$\sigma_{bx} = C_z \cdot f_v \cdot \sqrt{\frac{E \cdot k_{v,gem}}{d_n}}$$

$$\sigma_{bx} = 0,00873 \cdot 0 \cdot \sqrt{\frac{205800 \cdot 0,03}{8,68}} = 0,00 \text{ N/mm}^2$$

**17. Berekening van de spanning σ<sub>bx</sub> t.g.v. uitvoeringszakkingverschil f<sub>v</sub> en zettingsverschil f<sub>z</sub>**

$$\sigma_{bx} = C_z \cdot (f_v + 2,0 \cdot f_z) \cdot \sqrt{\frac{E \cdot k_{v,gem}}{d_n}}$$

$$\sigma_{bx} = 0,00873 \cdot (0 + 2,0 \cdot 200,0) \cdot \sqrt{\frac{205800 \cdot 0,03}{8,68}} = 93,17 \text{ N/mm}^2$$

**18. Berekening van de spanning σ<sub>ax</sub> t.g.v. temperatuurverschil**

$$\sigma_{ax} = \Delta_t \cdot \alpha_g \cdot E$$

$$\sigma_{ax} = 10 \cdot 0,0000116 \cdot 205800 = 23,87 \text{ N/mm}^2$$

**19. Berekening van de spanningsverhogingsfactoren van de bocht**

Aangezien er geen bocht wordt toegepast volgt:

$$i_x = 1, i_y = 0, i_{xp} = 1, i_{yp} = 0$$

**20. Toetsing op implosie: berekening van de alzijdige overdruk**

Veiligheidsfactor  $\gamma$  voor langdurige onderdruk:  $\gamma = 3$

Veiligheidsfactor  $\gamma$  voor kortdurende onderdruk:  $\gamma = 1,5$

$$p_o = \frac{1}{\gamma \cdot (1 - v^2)} \cdot \frac{24 \cdot E \cdot l_w}{D_g^3}$$

$$p_{o,kort} = \frac{1}{1,5 \cdot (1 - 0,3^2)} \cdot \frac{24 \cdot 205.800,00 \cdot 54,50}{210,42^3} = 21,17 \text{ N/mm}^2$$

$$p_{o,lang} = \frac{1}{3 \cdot (1 - 0,3^2)} \cdot \frac{24 \cdot 205.800,00 \cdot 54,50}{210,42^3} = 10,58 \text{ N/mm}^2$$

Conclusie: Kans op implosie bij **1.058,30 m** grondwater boven de leiding

**21. Berekening van de optredende en toelaatbare deflectie**

$$\delta_Y = \frac{(0,089 \cdot Q - 0,095 \cdot Q_{n,h} + 0,048 \cdot Q_d) \cdot r_g^3}{E' \cdot l_w}$$

$$\delta_Y = \frac{(0,089 \cdot (Q_n + Q_v) - 0,095 \cdot (1 - \sin \varphi) \cdot (Q_n + Q_v) + 0,048 \cdot Q_d) \cdot r_g^3}{E' \cdot l_w}$$

$$\delta_Y = \frac{(0,089 \cdot (17,24 + 4,78) - 0,095 \cdot (1 - \sin(30^\circ)) \cdot (17,24 + 4,78) + 0,048 \cdot 64,45) \cdot 105,21^3}{205800 \cdot 54,50} = 0,42 \text{ mm} (= 0,20\%)$$

Toelaatbare deflectie =  $15\% \cdot \text{importantiefactor } S \cdot D_g = 0,15 \cdot 1 \cdot 210,42 = 31,56 \text{ mm}$

**22. Berekening van het totaal aan optredende spanningen (1<sup>e</sup> en 2<sup>e</sup> jaar)**

Optredende spanningen in omtreksrichting van de leiding

$$\sigma_{y2} = \alpha_\sigma \cdot \sigma_q$$

$$\sigma_{y2} = 1 \cdot 60,18 = 60,18 \text{ N/mm}^2$$

Optredende spanningen in langsrichting van de leiding

$$\sigma_x = \alpha_\sigma \cdot \sigma_{bx} + \sigma_{ax}$$

$$\sigma_x = 1 \cdot 0,00 + 23,87 = 23,87 \text{ N/mm}^2$$

Toelaatbare spanning =  $0,8 \cdot R_e \cdot S = 0,8 \cdot 360 \cdot 1,00 = 288,00 \text{ N/mm}^2$

**23. Berekening van het totaal aan optredende spanningen (na 2 jaar)**

Optredende spanningen in omtreksrichting van de leiding

$$\sigma_{y2} = \alpha_\sigma \cdot \sigma_q$$

$$\sigma_{y2} = 1 \cdot 81,31 = 81,31 \text{ N/mm}^2$$

Optredende spanningen in langsrichting van de leiding

$$\sigma_x = \alpha_\sigma \cdot \sigma_{bx} + \sigma_{ax}$$

$$\sigma_x = 1 \cdot 93,17 + 23,87 = 117,05 \text{ N/mm}^2$$

Toelaatbare spanning =  $0,8 \cdot R_e \cdot S = 0,8 \cdot 360 \cdot 1,00 = 288,00 \text{ N/mm}^2$

**Algemene gegevens**

Naam van het project : Buffer Zuid te Bargerveen  
 Projectonderdeel : NAM leiding - Locatie 1 - BC zonder druk  
 Importantiefactor S : 1

**Materiaalgegevens**

Materiaalsoort:	Staal	
Kwaliteit:	NEN-EN ISO 3183 L360	
Rekgrens van het materiaal bij 20°C	$Re$	= 360 N/mm <sup>2</sup>
Elasticitetsmodulus	$E$	= 205800 N/mm <sup>2</sup>
Lineaire uitzettingscoëfficiënt	$\alpha_g$	= 1,2·10 <sup>-5</sup> mm/(mm·K)
Alfa Tangentieel / Alfa Axiaal	$\alpha_\sigma$	= 1 -
Toelaatbare deflectie	$\delta$	= 15,00 %

**Leidinggegevens**

Uitwendige middellijn	$D_e$	= 219,10 mm
Wanddikte	$d_n$	= 8,68 mm
Dikte bekleding	$e$	= 100 mm
Geen bocht aanwezig		
Minimale wanddikte	$d$	= 8,68 mm

**Procesgegevens**

Soort leiding (Vloeistof / Gas / Drukloos) = Drukloos

**Aanleggegevens**

Ligging: Evenwijdig aan een waterstaatswerk

Zettingslengte	$L$	= 40.000 mm
Dekking van de leiding t.o.v. maaiveld	$H$	= 2,2 m
Belastinghoek	$\alpha$	= 180 °
Ondersteuningshoek	$\beta$	= 70 °
Uitvoeringszakkingverschil	$f_v$	= 0 mm
Zettingsverschil	$f_z$	= 200,0 mm
Klinkpercentage	$\mu$	= 0,1 %
Marstonfactor	$f_m$	= 0,3 -

**Gegevens waterstaatswerk i.v.m. berekening veiligheidszone**

Waterstaatswerk: Verheeld

**Grondmechanische gegevens**

Grondsoort		= Zand
Volumiek gewicht droge grond	$\gamma_d$	= 17 kN/m <sup>3</sup>
Inwendige wrijvingshoek grond	$\varphi$	= 30 °
Effectieve cohesie	$c'$	= 0 kN/m <sup>2</sup>
Ongedraaide schuifsterkte	$c_u$	= 0 kN/m <sup>2</sup>
Minimale verticale beddingconstante	$k_{v,min}$	= 0,02 N/mm <sup>3</sup>
Gemiddelde verticale beddingconstante	$k_{v,gem}$	= 0,03 N/mm <sup>3</sup>
E-modulus ondergrond	$E_{100}$	= 15 MN/m <sup>2</sup>
Niet rekenen met horizontale steundruk		
Geen grondmechanisch onderzoek uitgevoerd	$\gamma$	= 1,1

**Verkeersbelasting**

Grafiek II:

Fatigue Load Model 2, Lorry 4

Niet rekenen met ontlastende invloed wegdek

**1. Eigenschappen van de leiding**

Inwendige middellijn	$D_i = D_e - 2 \cdot d_n$	= 201,74	mm
Gemiddelde middellijn	$D_g = (D_e + D_i)/2$	= 210,42	mm
Uitwendige middellijn+bekleding	$D_o = D_e + 2 \cdot e$	= 419,10	mm
Uitwendige straal	$r_e = D_e / 2$	= 109,55	mm
Inwendige straal	$r_i = D_i / 2$	= 100,87	mm
Gemiddelde straal	$r_g = (r_e + r_i) / 2$	= 105,21	mm
Traagheidsmoment buis	$I_b = (D_e^4 - D_i^4) \cdot \pi/64$	= 31.811.125,91	mm <sup>4</sup>
Weerstandsmoment buis	$W_b = I_b / r_e$	= 290.379,97	mm <sup>3</sup>
Wandtraagheidsmoment	$I_w = d_n^3 / 12$	= 54,50	mm <sup>4/mm<sup>1</sup></sup>
Wandweerstandsmoment	$W_w = d_n^2 / 6$	= 12,56	mm <sup>3/mm<sup>1</sup></sup>

**2. Toetsing of vereenvoudigde berekeningsmethode is toegestaan**

Leiding is drukloos: Controle is niet mogelijk.

**3. Berekening van de veiligheidszone**

$$\text{Veiligheidszone} = 4 \cdot H_{\text{werk}} = 4 \cdot 0,00 = 0,00 \text{ m}$$

**4. Berekening van de spanningen  $\sigma_p$  en  $\sigma_{pl}$  t.g.v. inwendige druk**

Leiding is drukloos:

$$\sigma_p = 0,00 \text{ N/mm}^2$$

**5. Berekening reroundingfactor  $f_{rr}$** 

Leiding is drukloos:

$$f_{rr} = 1,00$$

**6. Berekening van de neutrale grondbelasting  $Q_n$** 

$$q_n = \gamma \cdot \gamma_d \cdot H_d$$

$$q_n = 1,1 \cdot 17 \cdot 2,2 = 41,14 \text{ kN/m}^2$$

$$Q_n = q_n \cdot D_o$$

$$Q_n = 41,14 \cdot 10^{-3} \cdot 419,1 = 17,24 \text{ N/mm}^1$$

**7. Berekening van de passieve grondbelasting  $Q_p$** 

$$q_p = q_n \cdot \left( 1 + f_m \cdot \frac{H}{D_o} \right)$$

$$q_p = 41,14 \cdot \left( 1 + 0,3 \cdot \frac{2,2}{0,4191} \right) = 105,93 \text{ kN/m}^2$$

$$Q_p = q_p \cdot D_o$$

$$Q_p = 105,93 \cdot 10^{-3} \cdot 419,1 = 44,39 \text{ N/mm}^1$$

**8. Berekening van de reële grondbelasting  $Q_k$** 

$$\kappa = 1 - \sin(\varphi) = 1 - \sin(30) = 0,500$$

$$v = \frac{\kappa}{1+\kappa} = \frac{0,500}{1+0,500} = 0,33$$

$$E_{100,norm} = E_{100} \cdot (q_n/100)^{0,5} = 15 \cdot (41,14/100)^{0,5} = 9,62 \text{ MN/m}^2$$

$$E_1 = E_{100,norm} / \frac{1 - v - 2 \cdot v^2}{1 - v}$$

$$E_1 = 9,62 / \frac{1 - 0,33 - 2 \cdot 0,33^2}{1 - 0,33} = 14,43 \text{ MN/m}^2$$

$$z_{max} = 0,2 \cdot \frac{D_o}{E_1^{0,5} \cdot \sqrt{H/D_o}}$$

$$z_{max} = 0,2 \cdot \frac{0,4191}{14,43^{0,5} \cdot \sqrt{2,2/0,4191}} = 0,0096 \text{ m}$$

$$q_k = q_n + \frac{\mu \cdot D_o}{z_{max}} \cdot (q_p - q_n)$$

$$1 + \frac{q_p - q_n}{z_{max} \cdot k_{v,min}}$$

$$\frac{0,1 \cdot 0,4191}{0,0096} \cdot (105,93 - 41,14)$$

$$q_k = 41,14 + \frac{105,93 - 41,14}{1 + \frac{0,0096 \cdot 0,0200 \cdot 10^6}{0,0096 \cdot 0,0200 \cdot 10^6}} = 252,12 \text{ kN/m}^2$$

$$Q_k = q_k \cdot D_o$$

$$Q_k = 252,12 \cdot 10^{-3} \cdot 419,1 = 105,66 \text{ N/mm}^1$$

Aanpassing van  $Q_k$  nodig  $\rightarrow Q_k > Q_p \rightarrow Q_k = Q_p = 44,39 \text{ N/mm}^1$

**9. Berekening van de verkeersbelasting  $Q_v$  volgens Grafiek II NEN 3650-1:C.17**

Niet rekenen met ontlastende invloed

$$q_v = 11,41 \text{ kN/m}^2$$

$$Q_v = q_v \cdot D_o$$

$$Q_v = 11,41 \cdot 10^{-3} \cdot 419,1 = 4,78 \text{ N/mm}^1$$

**10. Berekening van de stijfheidsverhouding grond/leiding  $\lambda$** 

$$\lambda = \sqrt[4]{\frac{D_o \cdot k_{v,gem}}{4 \cdot E \cdot l_b}}$$

$$\lambda = \sqrt[4]{\frac{419,1 \cdot 0,03}{4 \cdot 205800 \cdot 31.811.125,91}} = 0,00083 \text{ mm}^{-1}$$

**11. Berekening van de indirect overgedragen bovenbelasting (1<sup>e</sup> en 2<sup>e</sup> jaar)**

Zettingslengte L = 40.000 mm

$$\lambda \cdot L = 0,00083 \cdot 40.000 = 33,30$$

i = 0,938 (= 93,8 % inklemming)

B<sub>Z</sub> = 0,0000626 (volgens NEN 3651 - 8.5.2.4 tabel 5)

$$Q_Z = B_Z \cdot f_v \cdot D_o \cdot k_{v,gem}$$

$$Q_Z = 0,0000626 \cdot 0 \cdot 419,1 \cdot 0,03 = 0,00 \text{ N/mm}^2$$

$$Q_d = Q_Z \cdot \lambda \cdot L \cdot \left( i + \frac{i \cdot \lambda \cdot L}{6} \right)$$

$$Q_d = 0,00 \cdot 0,00083 \cdot 40.000 \cdot \left( 0,938 + \frac{0,938 \cdot 0,00083 \cdot 40.000}{6} \right) = 0,00 \text{ N/mm}^2$$

**12. Berekening van de indirect overgedragen bovenbelasting (na 2 jaar)**

$$Q_Z = B_Z \cdot (f_v + 2,0 \cdot f_z) \cdot D_o \cdot k_{v,gem}$$

$$Q_Z = 0,0000626 \cdot (0 + 2,0 \cdot 200,0) \cdot 419,1 \cdot 0,03 = 0,31 \text{ N/mm}^2$$

$$Q_d = Q_Z \cdot \lambda \cdot L \cdot \left( i + \frac{i \cdot \lambda \cdot L}{6} \right)$$

$$Q_d = 0,31 \cdot 0,00083 \cdot 40.000 \cdot \left( 0,938 + \frac{0,938 \cdot 0,00083 \cdot 40.000}{6} \right) = 64,45 \text{ N/mm}^2$$

**13. Berekening evenwichtsdraagvermogen en controle met bovenbelastingen***Berekening evenwichtsdraagvermogen*

$$N_q = e^{\pi \tan(\varphi)} \cdot \tan^2(45^\circ + \varphi/2) = 18,40$$

$$N_y = 1,5 \cdot (N_q - 1) \cdot \tan(\varphi) = 15,07$$

$$B = D_o = 0,42 \text{ m}$$

$$B/L = 0,1$$

$$Z = h + D_o / 2 = 2,20 + 0,42 / 2 = 2,41 \text{ m}$$

$$S_y = 1 - 0,4 \cdot B/L = 0,96$$

$$d_q = 1 + 2 \cdot \tan(\varphi) \cdot (1 - \sin(\varphi))^2 \cdot \tan^{-1}(Z/B) = 1,40$$

$$\gamma'_{gem} = (q_n + \gamma \cdot \gamma_d \cdot D_o / 2) / Z = 18,70 \text{ kN/m}^3$$

$$P_{we} = 0,95 \cdot (0,5 \cdot \gamma'_{gem} \cdot D_o \cdot N_y \cdot S_y \cdot d_q + S_q \cdot N_q \cdot d_q \cdot (q_n + c' \cdot \cot(\varphi)) - c' \cdot \cot(\varphi))$$

$$P_{we} = 1.113,86 \text{ kN/m}^2 = 1,11 \text{ N/mm}^2$$

$$P_{weDo} = P_{we} \cdot D_o = 1,11 \cdot 419,10 = 466,82 \text{ N/mm}^2$$

*Controle bovenbelastingen met evenwichtsdraagvermogen*

<i>Situatie 1<sup>e</sup> en 2<sup>e</sup> jaar</i>	<i>Conclusie:</i>	<i>Situatie na 2 jaar</i>	<i>Conclusie:</i>
$Q_k = 44,39 \text{ N/mm}^2$	Geen aanpassing	$Q_n = 17,24 \text{ N/mm}^2$	Geen aanpassing
$Q_v = 4,78 \text{ N/mm}^2$	van $Q_d$ nodig	$Q_v = 4,78 \text{ N/mm}^2$	van $Q_d$ nodig
$Q_d = 0,00 \text{ N/mm}^2 +$		$Q_d = 64,45 \text{ N/mm}^2 +$	
$\Sigma = 49,18 \text{ N/mm}^2$		$\Sigma = 86,47 \text{ N/mm}^2$	

**14. Momenten en spanningen t.g.v. directe en indirecte bovenbelastingen (1<sup>e</sup> en 2<sup>e</sup> jaar)***Moment t.g.v. Q<sub>k</sub> en Q<sub>v</sub>*

$$M_q = K_b \cdot (Q_k + Q_v) \cdot r_g$$

$$M_q = 0,177 \cdot (44,39 + 4,78) \cdot 105,21$$

$$M_q = 915,78 \text{ Nmm/mm}^2$$

*Moment t.g.v. Q<sub>d</sub>*

$$M_{qd} = K_{b,ind} \cdot Q_d \cdot r_g$$

$$M_{qd} = 0,122 \cdot 0,00 \cdot 105,21$$

$$M_{qd} = 0,00 \text{ Nmm/mm}^2$$

*Spanning t.g.v. M<sub>q</sub> en M<sub>qd</sub>*

$$\sigma_q = f_{rr} \cdot (M_q + M_{qd}) / W_w$$

$$\sigma_q = 1,00 \cdot (915,78 + 0,00) / 12,56 = 72,93 \text{ N/mm}^2$$

**15. Momenten en spanningen t.g.v. directe en indirecte bovenbelastingen (na 2 jaar)***Moment t.g.v. Q<sub>n</sub> en Q<sub>v</sub>*

$$M_q = K_b \cdot (Q_n + Q_v) \cdot r_g$$

$$M_q = 0,177 \cdot (17,24 + 4,78) \cdot 105,21$$

$$M_q = 410,15 \text{ Nmm/mm}^2$$

*Moment t.g.v. Q<sub>d</sub>*

$$M_{qd} = K_{b,ind} \cdot Q_d \cdot r_g$$

$$M_{qd} = 0,122 \cdot 64,45 \cdot 105,21$$

$$M_{qd} = 827,20 \text{ Nmm/mm}^2$$

*Spanning t.g.v. M<sub>q</sub> en M<sub>qd</sub>*

$$\sigma_q = f_{rr} \cdot (M_q + M_{qd}) / W_w$$

$$\sigma_q = 1,00 \cdot (410,15 + 827,20) / 12,56 = 98,54 \text{ N/mm}^2$$

**16. Berekening van de spanning σ<sub>bx</sub> t.g.v. uitvoeringszakkingverschil f<sub>v</sub>**

$$\sigma_{bx} = C_z \cdot f_v \cdot \sqrt{\frac{E \cdot k_{v,gem}}{d_n}}$$

$$\sigma_{bx} = 0,00873 \cdot 0 \cdot \sqrt{\frac{205800 \cdot 0,03}{8,68}} = 0,00 \text{ N/mm}^2$$

**17. Berekening van de spanning σ<sub>bx</sub> t.g.v. uitvoeringszakkingverschil f<sub>v</sub> en zettingsverschil f<sub>z</sub>**

$$\sigma_{bx} = C_z \cdot (f_v + 2,0 \cdot f_z) \cdot \sqrt{\frac{E \cdot k_{v,gem}}{d_n}}$$

$$\sigma_{bx} = 0,00873 \cdot (0 + 2,0 \cdot 200,0) \cdot \sqrt{\frac{205800 \cdot 0,03}{8,68}} = 93,17 \text{ N/mm}^2$$

**18. Berekening van de spanning σ<sub>ax</sub> t.g.v. temperatuurverschil**

Leiding is drukloos

$$\sigma_{ax} = 0 \text{ N/mm}^2$$

**19. Berekening van de spanningsverhogingsfactoren van de bocht**

Aangezien er geen bocht wordt toegepast volgt:

$$i_x = 1, i_y = 0, i_{xp} = 1, i_{yp} = 0$$

**20. Toetsing op implosie: berekening van de alzijdige overdruk**

Veiligheidsfactor  $\gamma$  voor langdurige onderdruk:  $\gamma = 3$

Veiligheidsfactor  $\gamma$  voor kortdurende onderdruk:  $\gamma = 1,5$

$$p_o = \frac{1}{\gamma \cdot (1 - v^2)} \cdot \frac{24 \cdot E \cdot l_w}{D_g^3}$$

$$p_{o,kort} = \frac{1}{1,5 \cdot (1 - 0,3^2)} \cdot \frac{24 \cdot 205.800,00 \cdot 54,50}{210,42^3} = 21,17 \text{ N/mm}^2$$

$$p_{o,lang} = \frac{1}{3 \cdot (1 - 0,3^2)} \cdot \frac{24 \cdot 205.800,00 \cdot 54,50}{210,42^3} = 10,58 \text{ N/mm}^2$$

Conclusie: Kans op implosie bij **1.058,30 m** grondwater boven de leiding

**21. Berekening van de optredende en toelaatbare deflectie**

$$\delta_Y = \frac{(0,089 \cdot Q - 0,095 \cdot Q_{n,h} + 0,048 \cdot Q_d) \cdot r_g^3}{E' \cdot l_w}$$

$$\delta_Y = \frac{(0,089 \cdot (Q_n + Q_v) - 0,095 \cdot (1 - \sin \varphi) \cdot (Q_n + Q_v) + 0,048 \cdot Q_d) \cdot r_g^3}{E' \cdot l_w}$$

$$\delta_Y = \frac{(0,089 \cdot (17,24 + 4,78) - 0,095 \cdot (1 - \sin(30^\circ)) \cdot (17,24 + 4,78) + 0,048 \cdot 64,45) \cdot 105,21^3}{205800 \cdot 54,50} = 0,42 \text{ mm} (= 0,20\%)$$

Toelaatbare deflectie =  $15\% \cdot \text{importantiefactor } S \cdot D_g = 0,15 \cdot 1 \cdot 210,42 = 31,56 \text{ mm}$

**22. Berekening van het totaal aan optredende spanningen (1<sup>e</sup> en 2<sup>e</sup> jaar)**

Optredende spanningen in omtreksrichting van de leiding

$$\sigma_{y2} = \alpha_\sigma \cdot \sigma_q$$

$$\sigma_{y2} = 1 \cdot 72,93 = 72,93 \text{ N/mm}^2$$

Optredende spanningen in langsrichting van de leiding

$$\sigma_x = \alpha_\sigma \cdot \sigma_{bx}$$

$$\sigma_x = 1 \cdot 0,00 = 0,00 \text{ N/mm}^2$$

$$\text{Toelaatbare spanning} = 0,8 \cdot R_e \cdot S = 0,8 \cdot 360 \cdot 1,00 = 288,00 \text{ N/mm}^2$$

**23. Berekening van het totaal aan optredende spanningen (na 2 jaar)**

Optredende spanningen in omtreksrichting van de leiding

$$\sigma_{y2} = \alpha_\sigma \cdot \sigma_q$$

$$\sigma_{y2} = 1 \cdot 98,54 = 98,54 \text{ N/mm}^2$$

Optredende spanningen in langsrichting van de leiding

$$\sigma_x = \alpha_\sigma \cdot \sigma_{bx}$$

$$\sigma_x = 1 \cdot 93,17 = 93,17 \text{ N/mm}^2$$

$$\text{Toelaatbare spanning} = 0,8 \cdot R_e \cdot S = 0,8 \cdot 360 \cdot 1,00 = 288,00 \text{ N/mm}^2$$